

Document-7 Résultats de la prospection géophysique

1. Aperçu de la prospection

Pour un aperçu de la géologie de la région cible de Sikasso, celle-ci est comme indiqué dans le paragraphe « 2.3 Etude des conditions naturelles » de ce rapport, et les 148 villages cibles sont répartis en huit types de régions géologiques. La prospection géophysique est composée d'études comparatives, de sondages électriques horizontaux et de sondages électriques verticaux. Chaque sondage a été réalisé en utilisant la méthode de prospection par mesure de résistivité électrique, avec un dispositif électrique de type Schlumberger.

Les études comparatives ont été réalisées au niveau des puits déjà existants et des points de forage négatif répartis dans chaque région géologique, afin de saisir les spécificités de la résistivité relative de chacune d'entre elles. Les sondages électriques horizontaux ont été réalisés dans chaque village afin de saisir les points où le changement de la valeur de résistivité relative est important, c'est à dire les points où il y a un changement horizontal de la structure géologique, à partir de la distribution de la résistivité relative sur deux lignes de levé (400 m) horizontales. De plus, les sondages électriques verticaux ont été réalisés en deux endroits sur les points où il y a un changement remarquable sur le plan horizontal.

2. Quantités de la prospection

Les quantités de la prospection sont comme ci-dessous.

Type de prospection	Spécifications	Niveau 1	Niveau 2	Etude de comparaison
Sondage électrique horizontal	Longueur de la ligne de levé : 200m Profondeur du sondage : 80m	Nombre de villages où les sondages ont été réalisés : 143 288 lignes de levé	Nombre de villages où les sondages ont été réalisés : 10 30 lignes de levé	Nombre de villages où les sondages ont été réalisés : 10 14 lignes de levé
Sondage électrique vertical	Profondeur du sondage : 250m	143 villages 143 points	10 villages 20 points	14 villages 14 points

3. Résultat de la prospection

La valeur de la résistivité relative par type géologique d'aquifère dans les puits déjà existants où les études comparatives ont été menées sont comme ci-dessous.

Géologie	Valeur de la résistivité relative mesurée de l'aquifère (Om)	Profondeur de l'aquifère (m)	Profondeur jusqu'à la roche fraîche (m)
Dolérite σ	101-300	5-99	39
Granite Brs	49	14-21	1
Grès Koutiala GK	500	15-30	30
Micaschiste Bs	100	33-74	19
Sable fin Gi	297-57	9-101	101
Schistes ST	149	8-99	100
Lits de grès Gsd	501	20-30	30
Grès argileux Bg	88	6-43	43

En se fondant sur les résultats ci-dessus, nous avons réalisé une évaluation du potentiel d'exploitation des eaux souterraines des résultats des sondages électriques réalisés dans les villages cibles des installations de type niveau 1 et niveau 2 à partir notamment de la valeur de la résistivité relative, de la profondeur de l'aquifère, de la profondeur jusqu'à la roche fraîche et des spécificités des courbes de résistivité relative – profondeur, puis nous les avons classés selon des catégories A, B et C, soit classe de haute production d'eau, classe de moyenne production d'eau et classe de faible ou difficile production d'eau. Les résultats de cette évaluation sont comme indiqués dans le tableau 2.3.16, et le tableau ci-dessous en constitue un résumé.

Classe d'évaluation	Nombre de puits de niveau 1 (sélection d'1 point par village)	Nombre de points par puit de niveau 2 (2 points /village)	Total (points)
A	61	11	72
B	36	7	43
C	46	2	48
Total	143	20	163

Résultat des Sondages Electriques Verticaux (SEV) pour les installations d'alimentation en eau de Niveau 1

Code JICA	Village	Population	Profondeur de l'Aquifère (m)	Résistivité de l'aquifère (Ωm)	Profondeur jusqu'à la roche fraîche (m)	Profondeur de forage estimée (m)	Potential en eau du sol	Coordonnées des points du SEV		Géologie
								Longitude	Latitude	
J-2	SYENRE	324	1-34	153	34	40	A	7-31-50W	10-57-57	Bg
J-3	SABOUDIEBOUGOU	178	26-45	154	45	50	A	7-24-18W	11-32-07	Bg
J-4	FARABA	351	4-53	120	53	60	A	7-31-58W	11-47-19	Brs
J-5	FELEFELE	714	1.6-46	121	46	55	A	7-12-27W	11-00-03	Brs
J-6	DONKELENA	782	5-40	300	40	45	A	7-12-00W	10-57-47	Brs
J-7	DINKORO	248	5-58	510	58	65	B	7-21-08W	11-55-58	Brs
J-8	KEMEDOUGOU	678	6-52	43	52	60	A	7-24-08W	12-07-56	Brs
J-9	SOUMOUDJI	509	5-57	130	57	65	A	7-25-10W	11-56-59	Bg
J-10	DIBAN	240	26-66	121 / 50	66	70	A	7-17-33W	11-57-59	Bg
J-11	KONDO	837	6-35	40	35	40	B	7-26-04W	11-48-34	Bg
J-13	N'TENA	894	4 - 91	86 / 800	91	95	C	7-49-07W	11-47-55	Bs
J-14	MASSALA	109	8-51	55 / 500	51	55	A	7-25-04W	11-25-34	Brs
J-15	MORIBOUG	306	6.3 - 45	58 / 300	45	50	A	7-26-31W	11-25-17	Bg
J-16	TONKOURABOUGOU	63	9-35	60	35	40	B	7-23-15W	11-22-39	Bg
J-17	SADIOULA	604	9 - 145	140 / 300	145	100	A	6-43-28W	11-18-42	Brs
J-20	ZAMBOUGOU	927	3 - 67	340	67	70	A	7-43-50W	11-18-31	Brs
J-21	FAKOBOUGOU	362	19 - 76	250	76	80	A	7-43-16W	11-33-20	Brs
J-22	FARABABOUGOU	344	6.0 - 28	92	28	50	B	7-35-51W	11-46-11	Brs
J-23	NIAKABOUGOU	531	11 - 80	230	80	85	A	7-34-17W	11-48-22	Brs
J-24	MAFELE 2	927	11 - 80	50 / 250	200	100	A	7-55-16W	11-14-11	Brs
J-25	SAGALA DIALAN	200	4.5 - 84	50	84	90	A	7-13-19W	12-10-16	Bg
J-27	TIEFAGALA	547	12.0 - 80	67	30	40	B	7-39-06W	11-24-27	Brs
J-28	SIMPIA	658	66 - 98	200	98	100	C	7-09-01W	10-51-33	Brs
J-29	ZAMA	291	26 - 52	39 / 100	52	60	A	7-11-24W	10-54-47	Brs
J-30	ZANABALA	226	20 - 45	250	45	50	A	7-13-11W	10-44-56	Brs
J-31	KOTIE	55	6 - 39	34	39	45	A	7-11-18W	11-35-51	Bg
J-32	NIENI	0	4 - 216	42 / 50	213	150	B	7-20-49W	11-29-36	Bg
J-33	SIRABATOU	0	8.0 - 30	400	26	40	B	7-18-35W	11-29-09	Bg
J-34	POUROU	255	6.3-187	470	6.3	100	B	5-48-57W	10-34-19	Brs
J-35	ZIEKOUNDOUGOU	176	8.0-26	45	26	35	B	5-43-15W	10-35-41	Brs
J-36	TIENINA	361	-	-	7.3	-	C	5-41-34W	10-55-36	Gsd
J-37	BANANKOR	847	3.0-29	70 / 300	29	35	B	5-30-18W	10-55-21	Gsd
J-38	BILASSO	850	3.0-42	170	42	50	B	5-34-59W	10-55-46	Gsd
J-39	BOUNOU	321	46-66	217	66	75	A	5-31-22W	10-45-23	Brs
J-40	DOUGOUCOURANI	462	15-28	54	28	35	B	5-31-42W	10-56-43	
J-41	FAKO-KOUROU	1,208	12-49	161 / 803	49	60	A	5-32-31W	10-38-41	Gi
J-42	KADONDOUGOU	134	37-468	685	6	100	C	5-36-45W	10-49-14	Brs
J-43	KOMORO	1,483	21-76	80	76	80	A	5-41-01W	10-47-11	Brs
J-44	N'GUINSO	629	33-200	300 / 83	40	100	B	5-31-02W	10-43-28	Gi
J-45	NIEROUANI	1,102	26-127	514	127	130	B	5-32-11W	10-49-54	Gi
J-46	SIRANIKOROBA	848	4.5-38.	251	39	45	A	5-32-51W	10-56-16	Gsd
J-47	ZANSO	944	17-46	150	46	55	A	5-35-57W	10-51-26	Gi
J-48	KOURA	1,258	10-26	103 / 300	26	35	B	5-28-52W	10-44-27	Gi
J-49	DJALLAKOROSSO	342	5-28	100	28	35	B	5-37-55W	10-36-35	Brs
J-50	FININKO	264	15.5 - 40	48	28	35	B	6-40-27W	10-42-06	Bg
J-51	KOLONZAN	100	13 - 36	71 / 173	36	40	B	6-48-11W	10-36-16	Bg
J-52	SANANKORO	297	5.3 - 37	354	37	45	A	6-36-00W	10-47-48	Brs
J-53	SIKORO	368	14.2 - 40	172	28	35	B	6-34-14W	10-46-40	Brs
J-54	TIONKOUNA	68	6.3 - 18	45 / 40	18	40	C	6-33-35W	10-50-27	Brs
J-55	BELLA	399	8 - 62	300	62	65	A	7-04-01W	11-07-18	Brs
J-56	CONGO	678	7 - 82	66 / 300	82	85	A	7-10-59W	11-11-40	Brs
J-57	DIALAKORO	287	10.5 - 40	50/160	18	25	C	7-05-56W	11-06-40	Brs
J-58	KOKOUNA	394	1.8 - 17	380	17	50	C	7-01-31W	11-22-45	Brs
J-59	KORONI	196	9.6 - 40	53 / 199 / 500	16.5	50	C	7-02-01W	11-08-38	Brs
J-60	SEKANA	551	3.0 - 40	57	19.5	30	B	6-53-19W	11-16-19	Brs
J-61	DIEDIEBA	520	4.3 - 18	39 / 501	18	35	B	6-44-32W	10-55-51	Bg
J-62	DIEDIENI	106	5.5 - 25	858 / 503	25	35	A	7-00-35W	10-55-52	BrS

Résultat des Sondages Electriques Verticaux (SEV) pour les installations d'alimentation en eau de Niveau 1

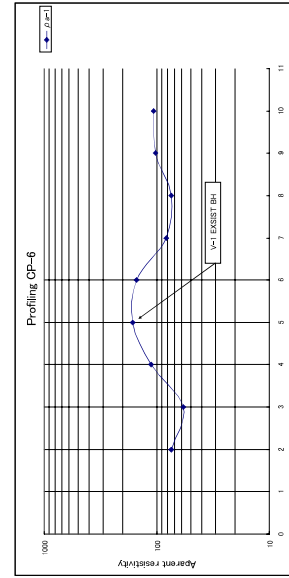
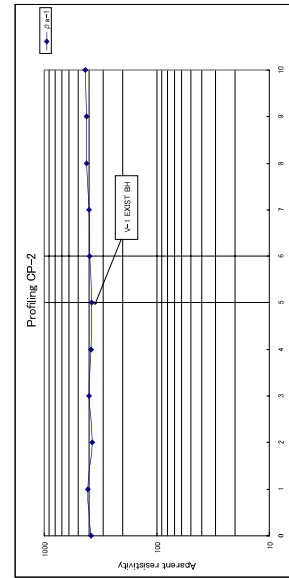
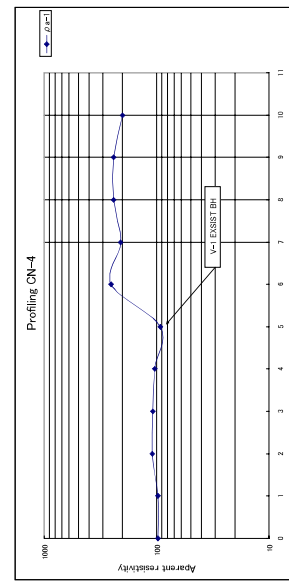
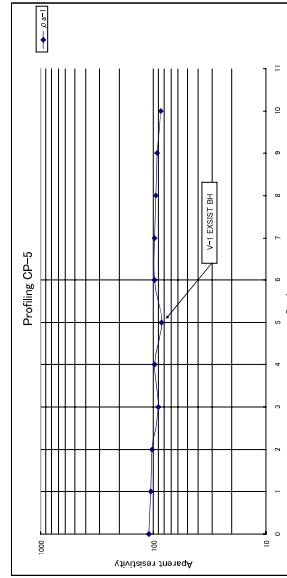
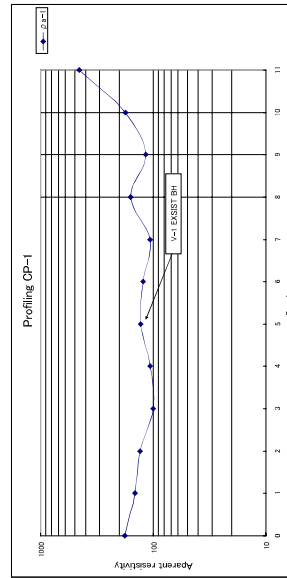
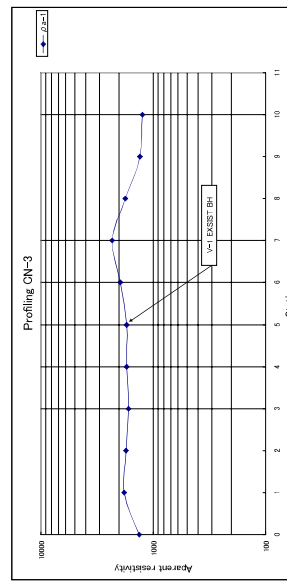
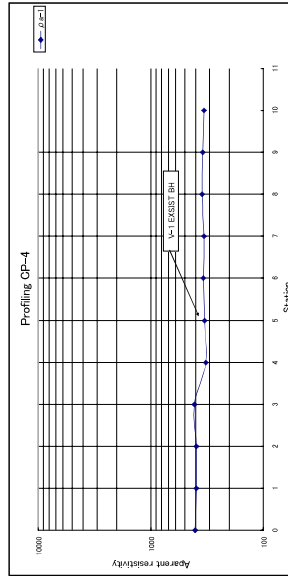
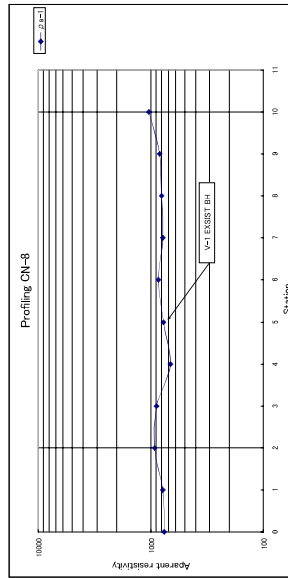
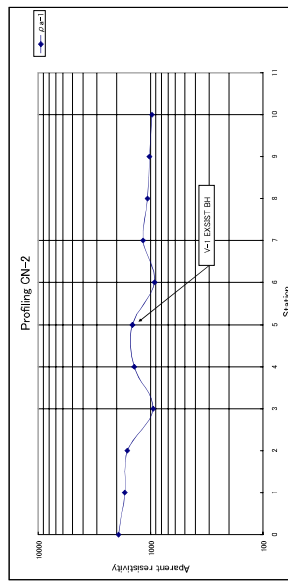
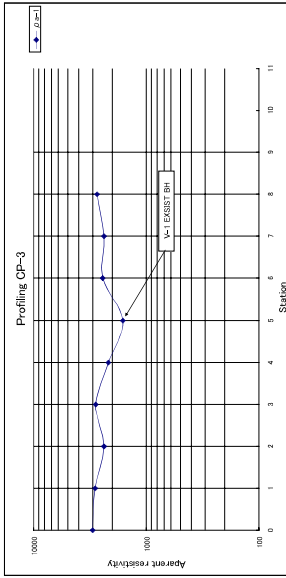
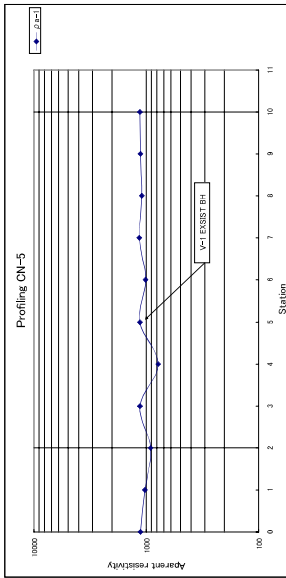
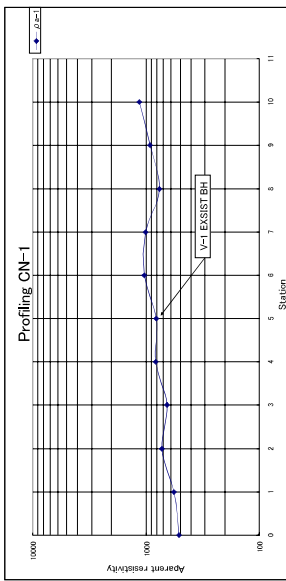
Code JICA	Village	Population	Profondeur de l'Aquifère (m)	Résistivité de l'aquifère (Ωm)	Profondeur jusqu'à la roche fraîche (m)	Profondeur de forage estimée (m)	Potential en eau du sol	Coordonnées des points du SEV		Géologie
								Longitude	Latitude	
J-63	MASSABALA	1,239	3.0-250	92 / 455	250	100	A	6-01-34W	12-23-30	GK
J-64	BOUBA	329	13-141	161	141	140	A	5-29-47W	12-23-30	ST
J-65	KEMA	272	15-57	83	57	65	A	5-29-47W	11-57-23	ST
J-66	KENDE	506	14-250	116	250	100	A	5-22-50W	11-55-49	ST
J-67	KESSO	212	12-137	40 / 500	137	140	A	5-21-07W	11-55-32	ST
J-68	LOIKINA	476	28-113	224	113	115	A	5-21-55W	11-55-25	ST
J-69	LAMPASSO	111	12-120	73 / 501	120	120	A	5-45-20W	12-10-01	ST
J-70	NAMPALA	1,042	21-30	5	30	40	C	5-46-30W	12-06-20	ST
J-71	NAMPORPELA	1,188	8-108	71	108	110	A	5-43-36W	12-05-56	ST
J-72	MADABOUGOU	350	17-155	830	155	160	C	5-57-03W	12-27-18	GK
J-73	TOROLA	91	14-160	353 / 803	160	160	B	5-42-16W	12-16-56	ST
J-74	KORON'TOSSO	507	14-57	312	57	65	A	5-34-36W	12-38-56	GK
J-75	NINTABOUGORO	1010	8-82	521	82	90	A	5-17-34W	12-20-37	GK
J-76	KARAGOUA	552	-	-	5	-	C	5-45-47W	12-34-21	GK
J-78	YOUNGOUANA	443	56-124	600 / 100	124	125	B	5-16-56W	12-25-28	GK
J-79	DEMPELA 1	1,450	41-79	516	79	85	B	5-39-33W	12-41-06	GK
J-80	DEMPELA 2	325	10-35	500	35	40	B	5-39-53W	12-41-19	GK
J-81	DOZOLA	531	12-26	133	26	35	C	5-40-36W	12-39-44	GK
J-82	TIANHIRISSO	577	10-72	283 / 480	72	80	A	5-13-46W	12-18-37	GK
J-83	ZEGUESSO	408	50-250	102	50	150	A	5-18-07W	12-23-27	GK
J-84	BELESSO	854	-	-	12	-	C	5-35-20W	12-19-08	GK
J-85	FARAKALA	470	17-39	450	39	45	A	5-27-25W	12-17-06	GK
J-86	DIELE	1,209	12-38	151	38	45	A	5-36-03W	12-03-30	ST
J-87	DIOMBOUG	304	27-126	82	126	130	A	5-32-52W	12-01-07	ST
J-88	N'GONGONA	111	27-52	100	52	60	A	5-31-52W	12-00-40	ST
J-89	POKOSSO	932	11-77	500 / 100	77	80	A	5-30-10W	11-59-52	ST
J-90	SIOU	1,013	16-22	200	22	30	C	5-31-55W	12-06-45	ST
J-91	FROUGOSSO	150	57-147	800	147	150	C	5-15-26W	12-33-42	GK
J-92	NIZANSO	1,982	23-74	150 / 63	74	80	A	5-13-25W	12-33-53	GK
J-93	NINTIOROSSO	679	11-87	514 / 200	87	95	A	5-03-10W	12-32-22	GK
J-94	N'GARE	778	11-29	60 / 53	29	35	B	5-34-41W	12-14-26	ST
J-95	KIKO	558	16-72	54	72	80	A	5-42-17W	12-08-29	ST
J-96	KOUGOUE	826	5-45	148	54	60	A	5-34-55W	12-15-20	ST
J-97	N'TOSSO	1,846	11-121	203 / 288	121	125	A	5-38-35W	12-04-54	ST
J-98	SONGUELA	2,729	32-55	1000	55	65	C	5-38-27W	12-44-30	GK
J-99	DIGNAN	539	10-88	503	88	90	A	5-03-19W	12-20-54	GK
J-100	KONI	738	20-200	422 / 236	33	100	B	5-15-45W	11-28-25	Gsd
J-101	NAMPASSO	471	17-31	200	31	40	B	5-13-50W	11-27-09	Gsd
J-102	N'GOLO-DIASSA	100	12-200	15 / 514	23	100	C	5-42-02W	11-22-46	Gsd
J-103	N'GOLODOUBOU	391	0-8	214	8	-	C	5-27-42W	11-25-33	Gsd
J-104	N'KALEBOUGOU	249	5-70	264	70	80	A	5-15-05W	11-19-59	Gsd
J-105	PORNO-DIASSA	121	19-111	242	111	115	A	5-21-57W	11-20-16	Gsd
J-106	SOKOURALA	509	5-26	700	26	35	C	6-06-05W	11-06-47	Bs
J-107	N'TIOBOUGOU	287	6-43	48 / 93	43	50	A	6-00-28W	12-01-06	Bs
J-108	DALLE	990	0-0	-	0	-	C	5-32-25W	11-02-51	Gsd
J-109	KOROLA	446	18-63	260	63	70	A	6-25-29W	11-42-53	Gi
J-110	FATE DIASSA	179	1-17	200	17	-	C	5-36-48W	11-25-12	Gsd
J-111	FARAKOBA	502	-	-	6.5	-	C	5-31-02W	11-01-17	Gsd
J-112	FATIA	214	-	-	7	-	C	5-33-52W	11-07-08	Gsd
J-113	KOGODONI	1,305	-	-	3	-	C	5-32-28W	11-01-35	Gsd
J-114	MADOUBOUGOU	261	-	-	3	-	C	5-32-04W	11-05-27	Gsd
J-115	MANDELA	3,991	58-73	153	73	80	A	5-31-48W	11-10-00	Gsd
J-116	MOGOYBOUGOU	318	10-37	103	37	45	C	5-29-37W	10-58-46	Gsd
J-117	NANKOROBOLI	861	-	-	4	-	C	5-33-36W	11-00-46	Gsd
J-118	NIELEPEBOUGOU	318	-	-	7	-	C	5-31-54W	11-00-43	Gsd
J-119	SOULEYMABOUGOU	517	1.3-5	92	5	-	C	5-33-33W	11-02-58	Gsd
J-120	YATIALE	457	34-41	104	41	50	B	5-32-27W	11-03-13	Gsd

Résultat des Sondages Electriques Verticaux (SEV) pour les installations d'alimentation en eau de Niveau 1

Code JICA	Village	Population	Profondeur de l'Aquifère (m)	Résistivité de l'aquifère (Ωm)	Profondeur jusqu'à la roche fraîche (m)	Profondeur de forage estimée (m)	Potentiel en eau du sol	Coordonnées des points du SEV		Géologie
								Longitude	Latitude	
J-121	FAFREBADIASSA	415	-	-	2.5	-	C	5-32-41W	11-02-56	Gsd
J-122	SANASSO	515	9-369	257 / 473	13	100	B	5-39-20W	11-07-57	Gsd
J-123	ZANSONI	255	-	-	1.5	-	C	5-42-52W	11-09-10	Gsd
J-124	SONFLABOUGOU	139	8-189	323	189	100	B	5-59-22W	11-59-12	
J-125	DIEGUENISSO	306	-	-	6	-	C	6-04-43W	11-27-02	Gi
J-126	SINANI	159	5-152	640 / 150	150	155	C	6-11-32W	11-36-11	Gi
J-127	BANIABOUGOU	293	8-66	390 / 305	66	70	A	5-55-37W	11-04-26	Gi
J-128	KADIORNI	338	15-136	46 / 500	41	140	B	5-48-54W	11-01-24	Gi
J-129	KINASSO	385	-	-	9	-	C	5-49-51W	11-04-35	Gi
J-130	SENANI-DIO	606	40-147	167	147	150	A	5-48-54W	11-01-24	
J-131	SOKOURANI	625	2.5-16	74	16	7-	C	5-52-40W	11-03-07	
J-132	ZANASSO	263	7-270	546	7	100	C	5-50-41W	11-08-08	
J-133	PANGAFOLASSO	330	9-250	273	250	150	A	5-48-36W	11-15-34	Gsd
J-134	FABOULA	69	26-33	482	33	40	B	6-12-54W	11-20-15	Bs
J-135	N'TIOLA	607	17-25	40	25	40	B	6-23-04W	11-25-51	Bs
J-136	DIASSADENI	376	-	-	0.7	-	C	5-45-05W	11-28-18	Gsd
J-137	KODIALANIDA	636	-	-	2.4	-	C	5-43-43W	11-24-55	Gsd
J-138	SIDARIBOUGOU	217	-	-	1	-	C	5-44-00W	11-27-36	Gsd
J-139	TOLA	229	99-250	309	12.5	150	C	5-46-02W	11-27-20	Gsd
J-140	DOMOGO-DIASSA	1,130	10-25	550 / 63	25	30	B	5-42-16W	11-20-34	Gsd
J-141	N'TIOSSO	300	0.6-5.5	80 / 50	5.5	-	C	6-02-00W	11-17-32	Gi
J-142	TIEROUALA	300	41-45	417	45	55	B	5-50-08W	11-21-31	Gi
J-143	KONSANSODIOULA	488	4-207	94 / 285	83	100	A	5-43-38W	11-13-53	Gsd
J-144	DOUGOUPEREBOUGOU	547	-	-	4	-	C	6-07-33W	11-00-25	Gi
J-145	MASSABOUGOU	353	2.5-8.5	54	8.5	-	C	5-46-31W	11-11-52	Gsd
J-146	KANKARANA	729	-	-	269	-	C	6-08-00W	11-27-02	Gi
J-147	NIANGASSO	431	6.5-36	880	36	50	C	5-47-05W	11-11-24	Gsd
J-148	NONTANSO	169	16-75	99	75	80	A	5-56-04W	11-23-24	Gi
J-149	SOSSOLOGO	277	0.8-1.3	87	1.3	-	C	5-29-11W	11-22-11	Gsd

Résultat des Sondages Electriques Verticaux (SEV) pour les installations d'alimentation en eau de Niveau 2

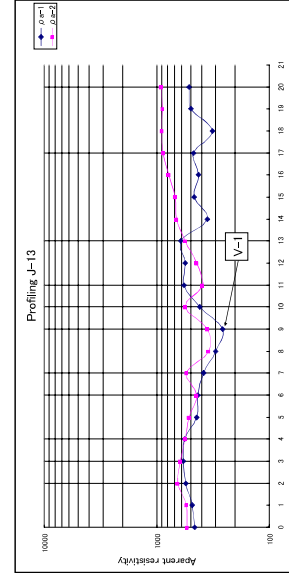
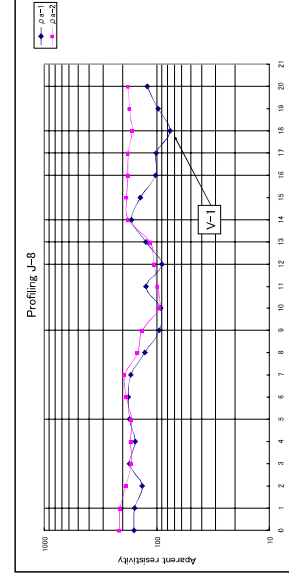
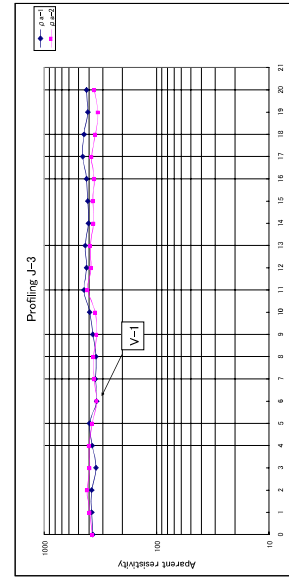
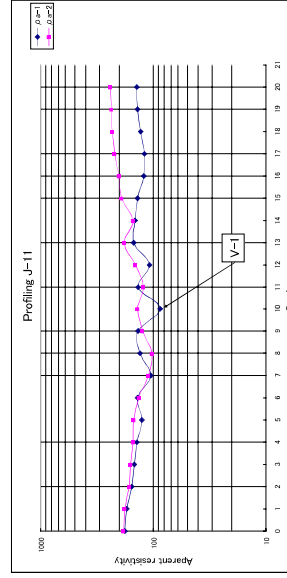
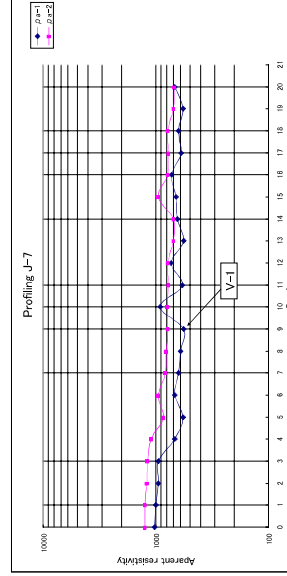
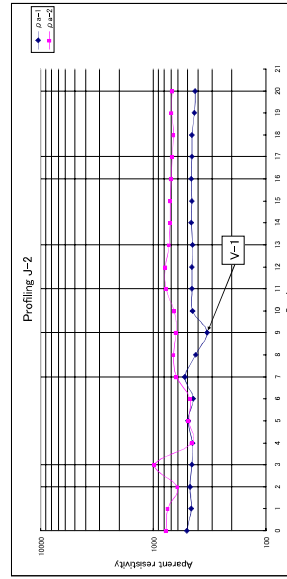
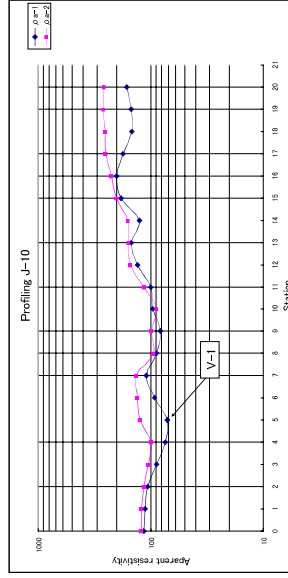
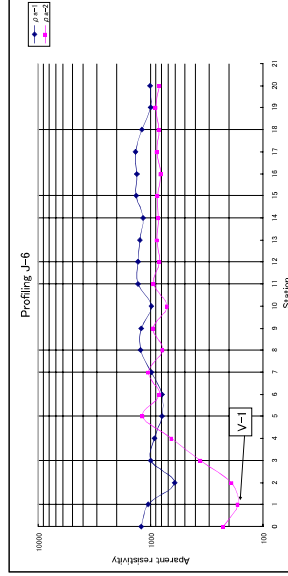
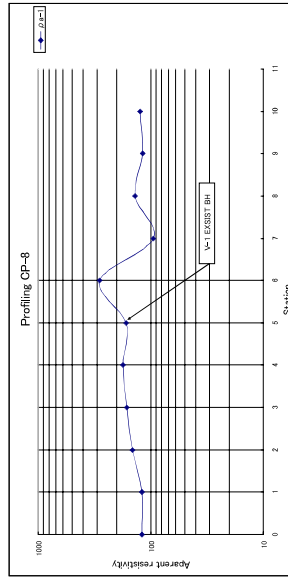
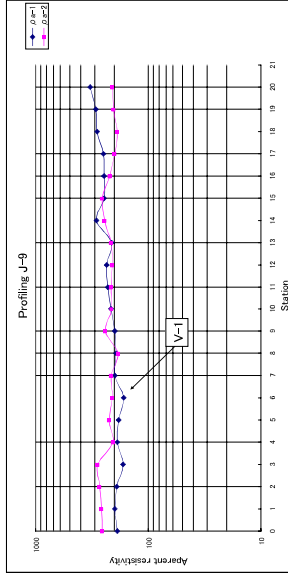
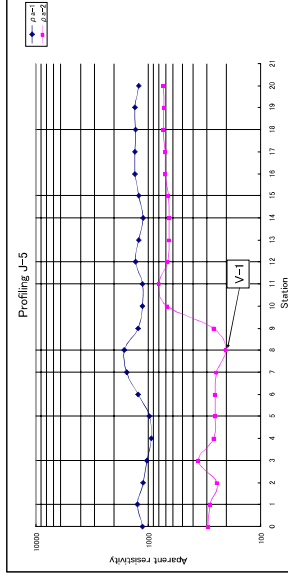
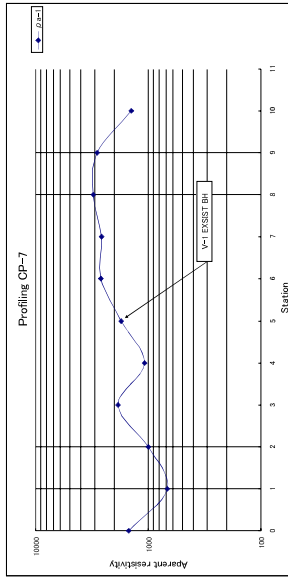
JICA code	Village	Population	VES point code	Profondeur de l'Aquifère (m)	Résistivité de l'aquifère (Ωm)	Profondeur jusqu'à la roche fraîche (m)	Profondeur de forage estimée (m)	Potentiel en eau du sol	Coordonnées des points du SEV		Géologie
									Longitude	Latitude	
J-II-1	Blendio	3,037	V1	11-70	70 / 222 / 27	70	90	A	6-20-46W	11-37-02N	Gi
			V2	6-74	77	74	80	A	6-20-42W	11-36-17N	
J-II-2	Lofigue	7,640	V1	1.9-27	62	27	30	A	5-42-31W	10-37-51N	Bs
			V2	7-40	84	40	45	A	5-42-29W	10-38-02N	
J-II-3	Fanidiama	3,691	V1	2-250	100 / 230 / 550	250	60	A	5-34-10W	10-29-19N	Bs
			V2	2-45	45	48	50	A	5-34-06W	10-28-46N	
J-II-4	Loloni	5,071	V1	6.3-250	300 / 25	173	90	B	5-36-06W	10-53-34N	Gsd
			V2	27-97	96 / 84	97	100	A	5-36-24W	10-54-02N	
J-II-5	Konsseguela	4,437	V1	40-50	600	20	60	A	5-52-47W	12-24-50N	GK
			V2	-	-	7.5	-	C	5-53-07W	12-24-07N	
J-II-6	N'Golonia nasso	3,380	V1	26-40, 60-80	200	80	80	B	5-41-01W	12-25-53N	GK
			V2	29-34, 52-53	200 / 201	34	55	B	5-41-15W	12-25-32N	
J-II-7	Peguena	1,685	V1	21-22, 74-88	200 / 202	88	90	A	5-54-51W	12-40-52N	GK
			V2	7-30, 46-250	300 / 500	30	90	B	5-54-38W	12-40-44N	
J-II-8	Kapala	1,972	V1	16-43, 67-68	450 / 305	43	75	B	5-27-25W	12-12-48N	ST
			V2	-	-	6	-	C	5-27-42W	12-12-47N	
J-II-9	Zangasso	2,738	V1	31-56	130 / 35	56	60	A	5-37-05W	12-09-13N	ST
			V2	16-86	45	86	90	A	5-36-55W	12-09-31N	
J-II-10	Sido	2,714	V1	5-36	28	36	40	B	7-35-47W	11-40-10N	Bs
			V2	39165	28	24	30	B	7-36-01W	11-37-50N	



Le résultat d'enquête souterraine égale (1 / 42)

Le résultat d'enquête souterraine égale (2 / 42)

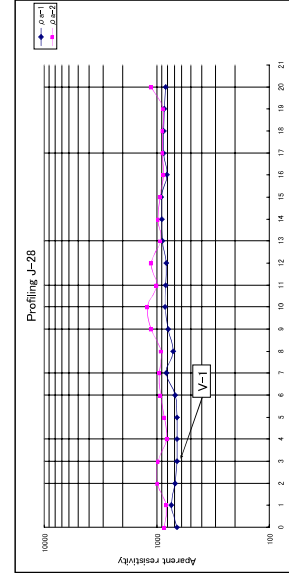
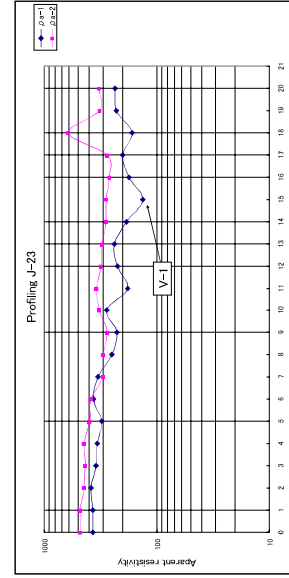
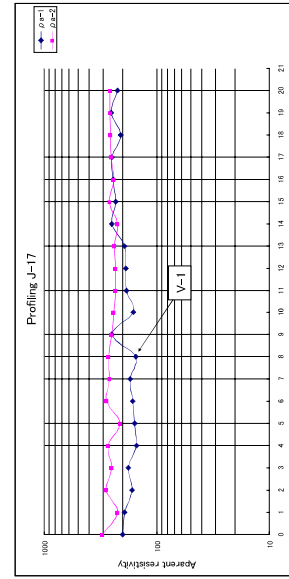
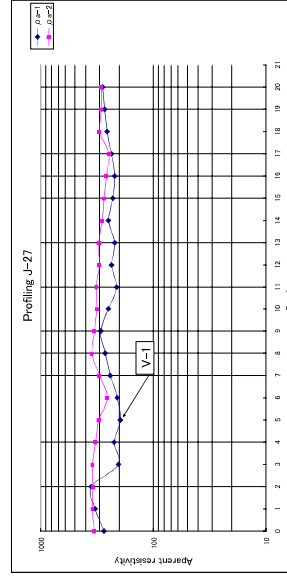
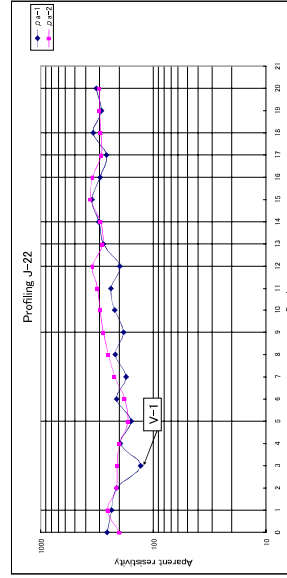
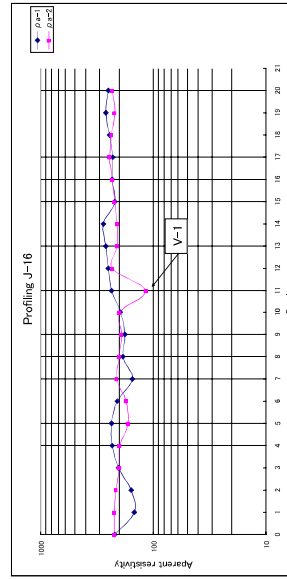
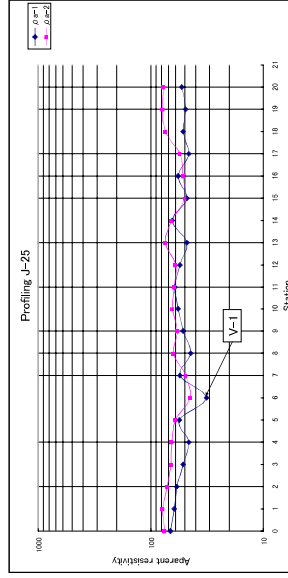
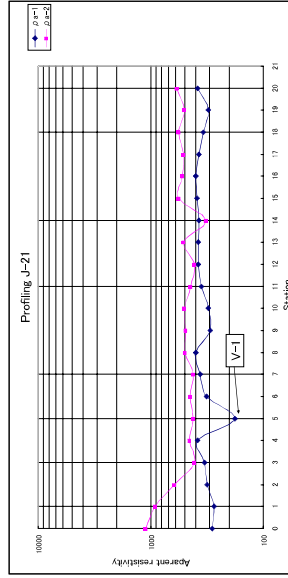
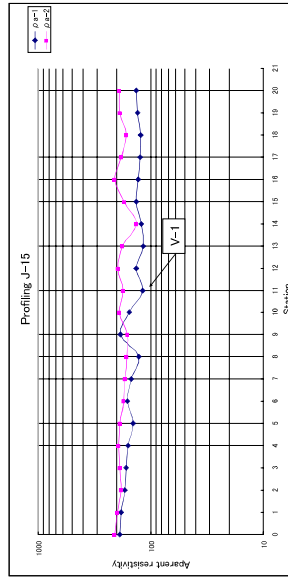
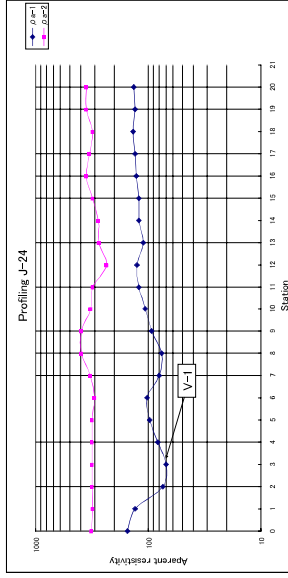
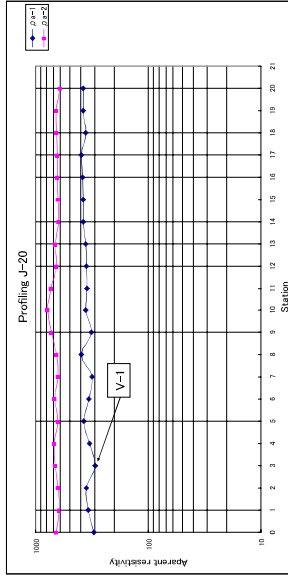
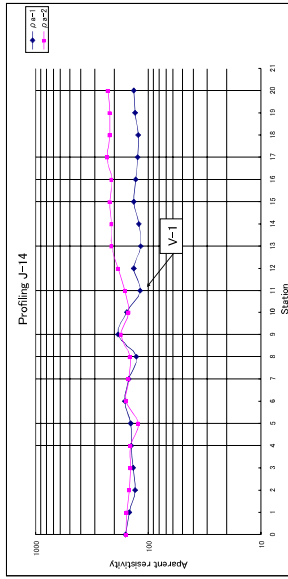
Le résultat d'enquête souterraine égale (3 / 42)



Le résultat d'enquête souterraine égale (4/42)

Le résultat d'enquête souterraine égale (5/42)

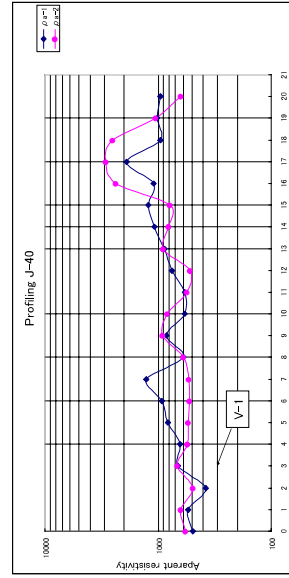
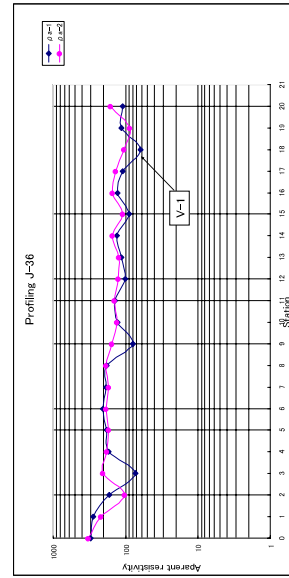
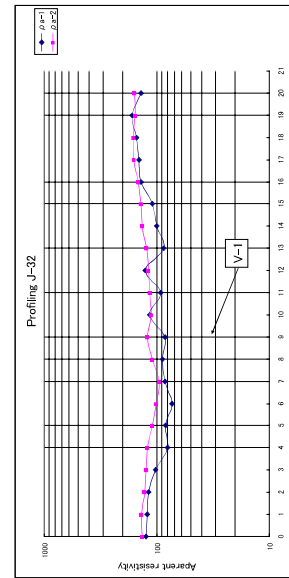
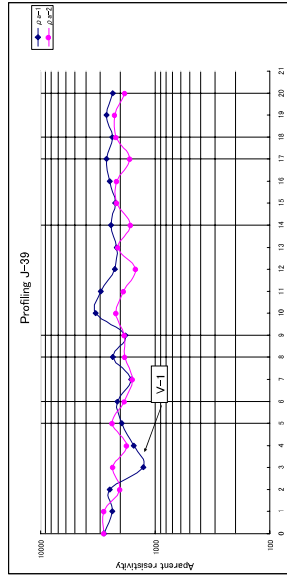
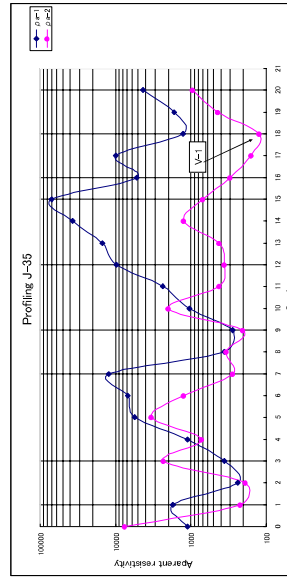
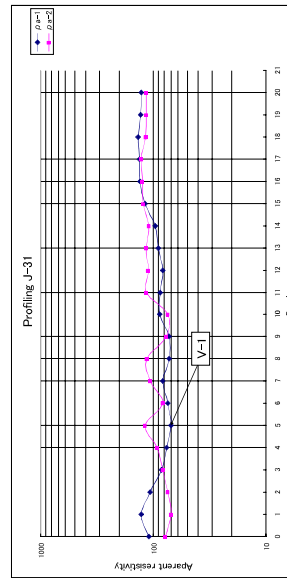
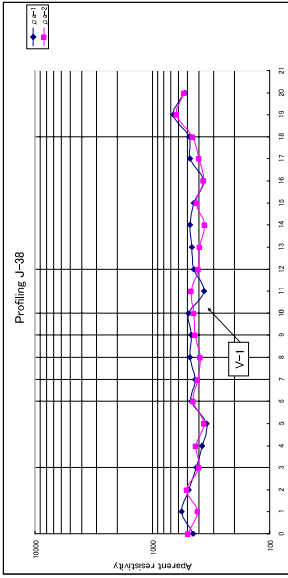
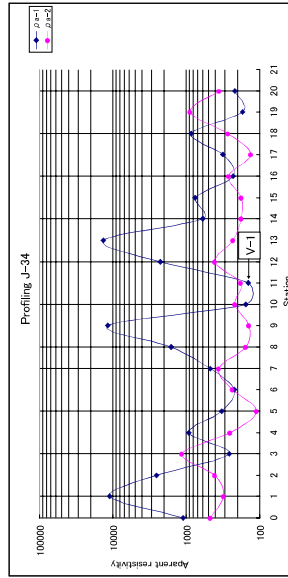
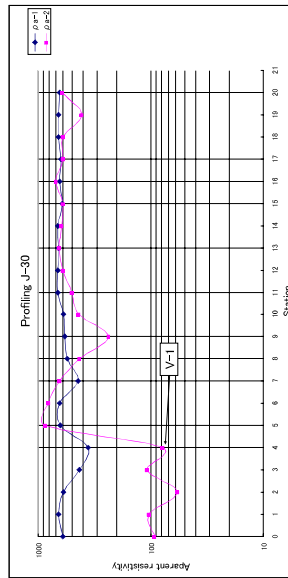
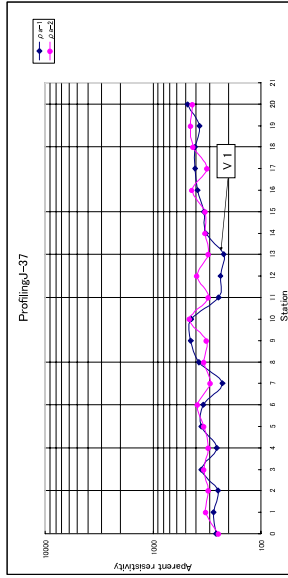
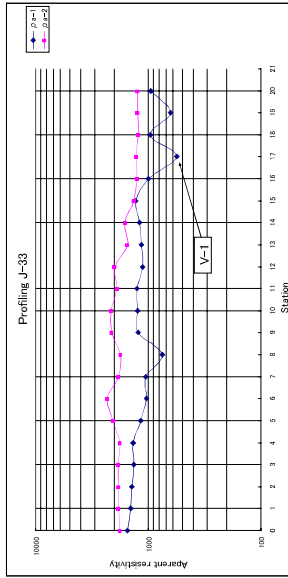
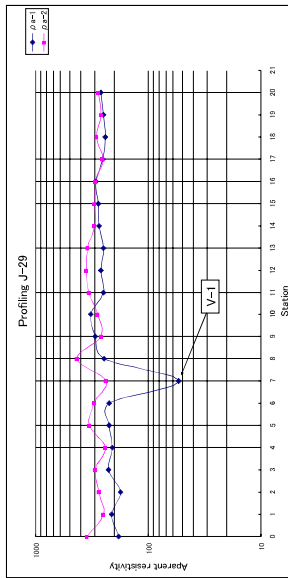
Le résultat d'enquête souterraine égale (6/42)



Le résultat d'enquête souterraine égale (7/42)

Le résultat d'enquête souterraine égale (8/42)

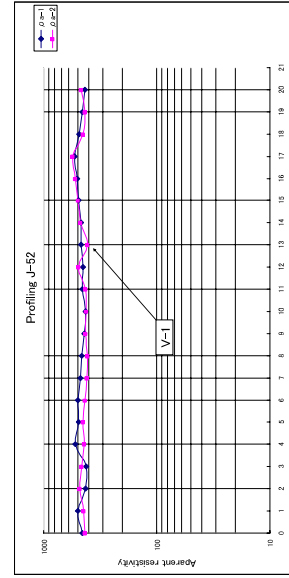
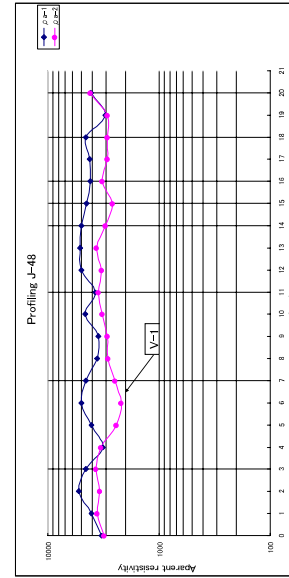
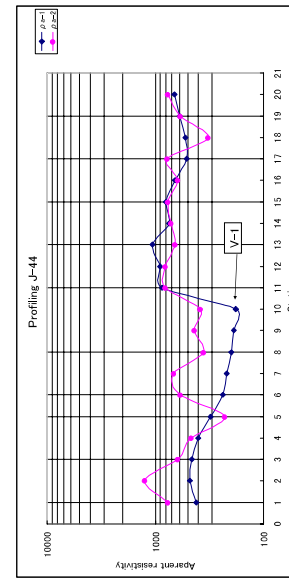
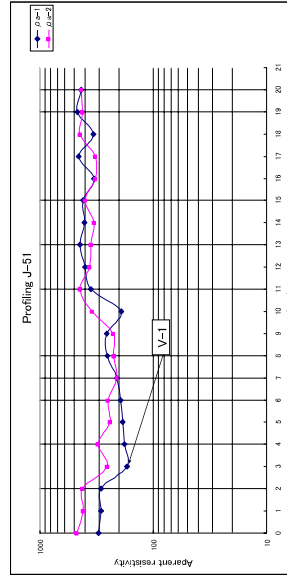
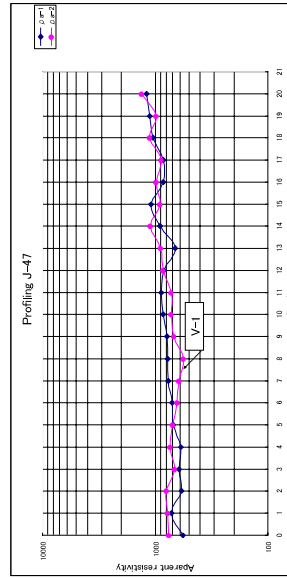
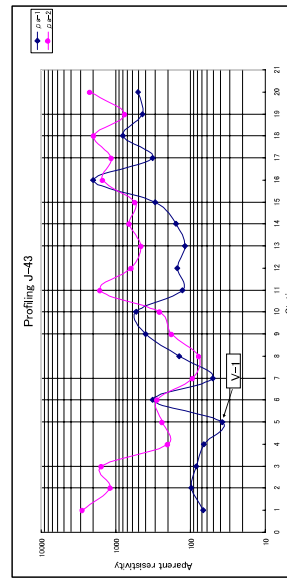
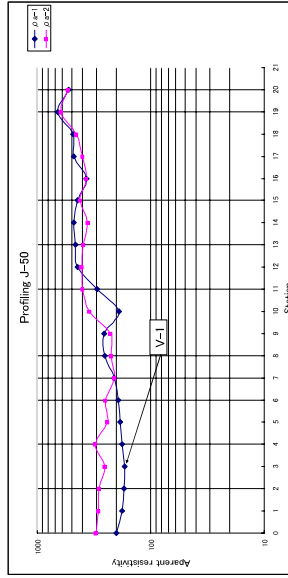
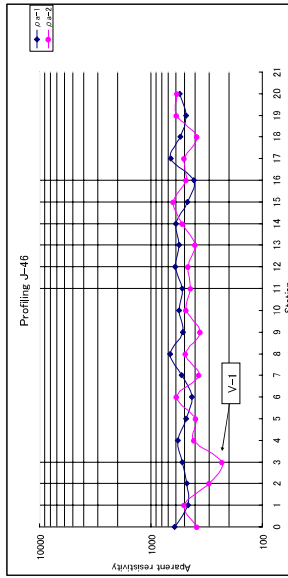
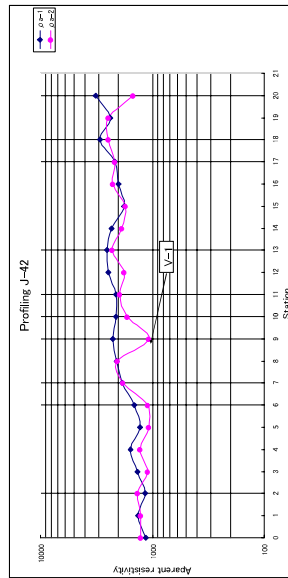
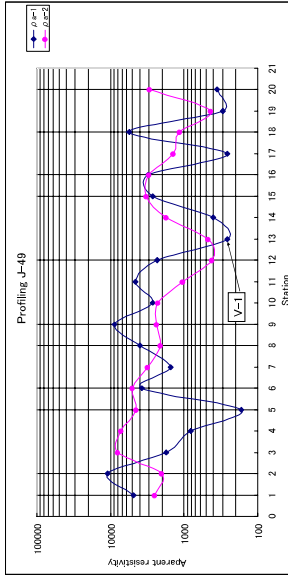
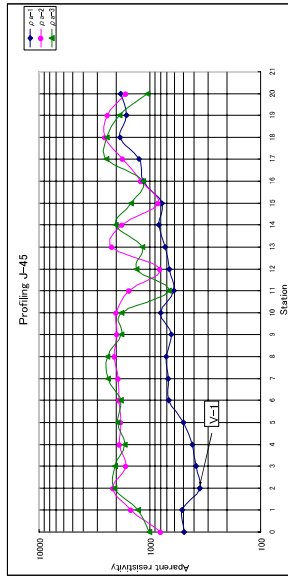
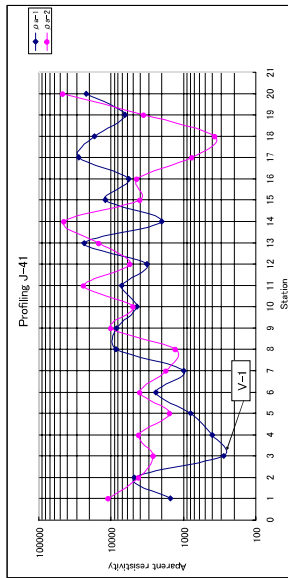
Le résultat d'enquête souterraine égale (9/42)



Le résultat d'enquête souterraine égale (10/42)

Le résultat d'enquête souterraine égale (11/42)

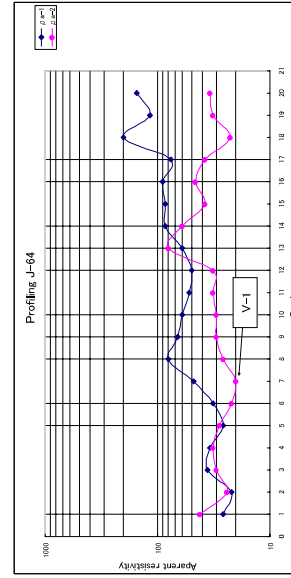
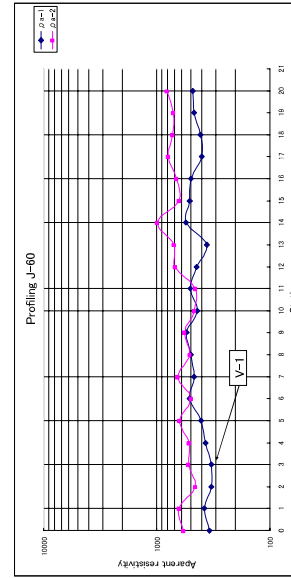
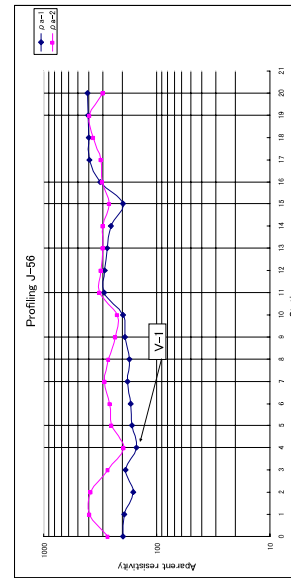
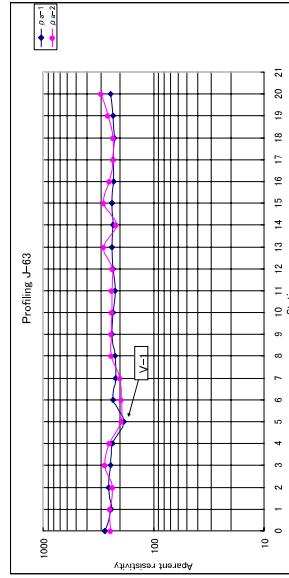
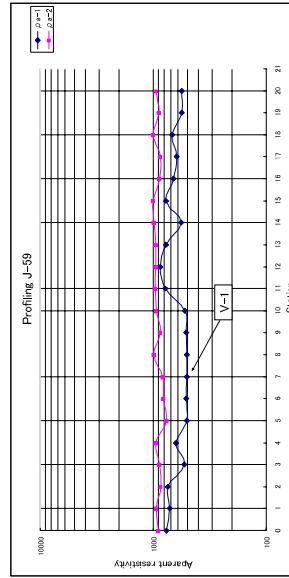
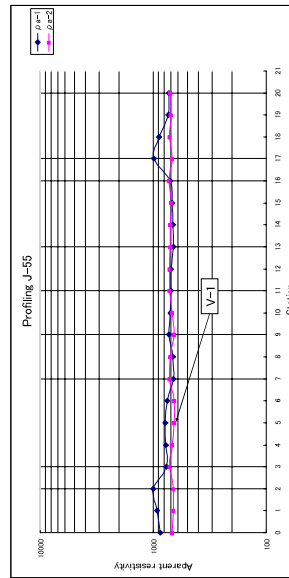
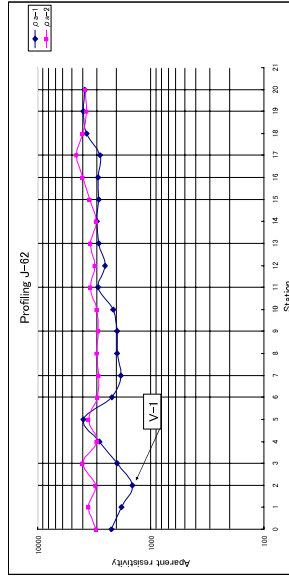
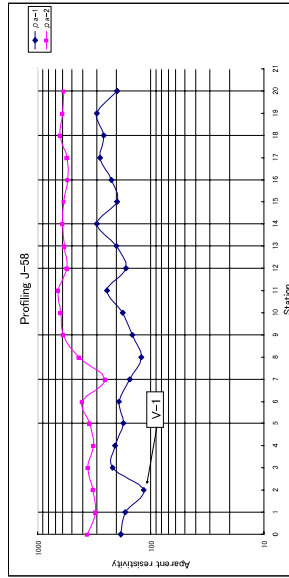
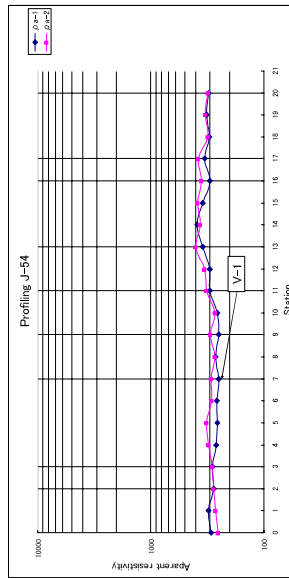
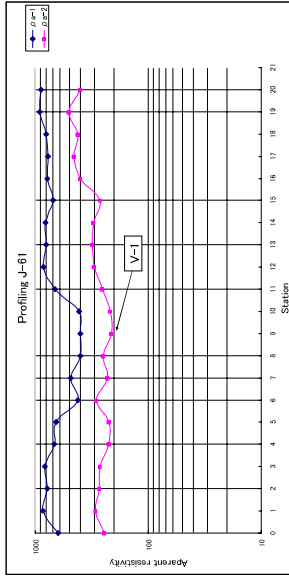
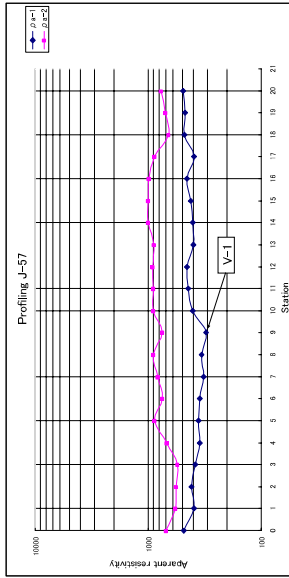
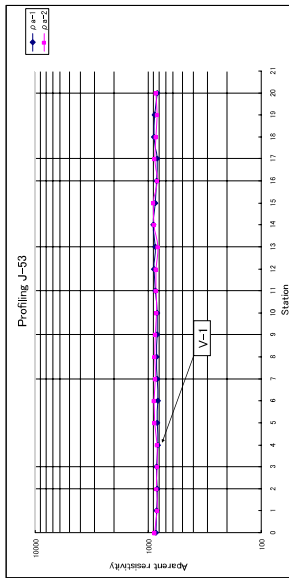
Le résultat d'enquête souterraine égale (12/42)



Le résultat d'enquête souterraine égale (13/42)

Le résultat d'enquête souterraine égale (14/42)

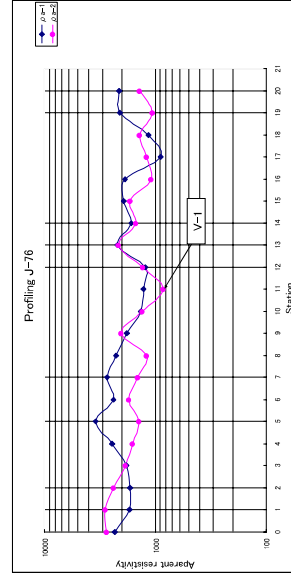
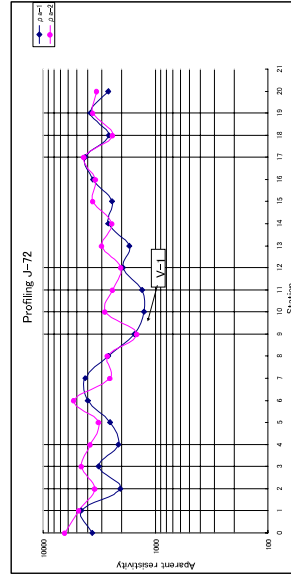
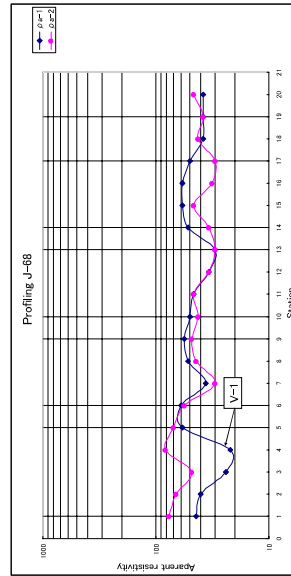
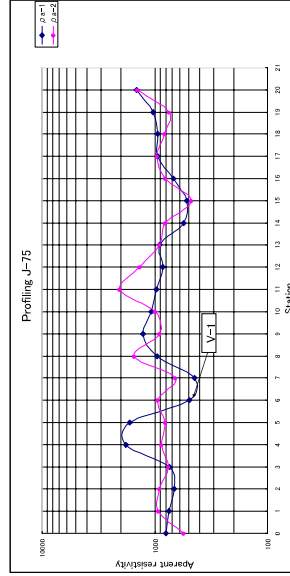
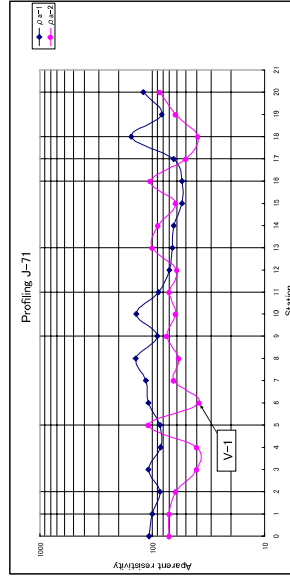
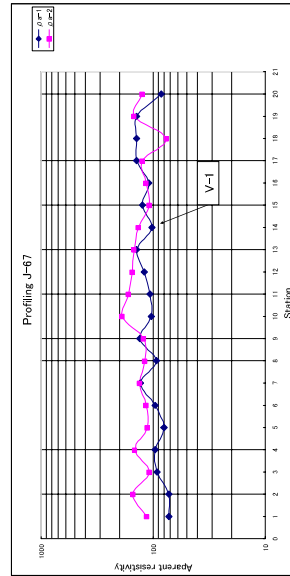
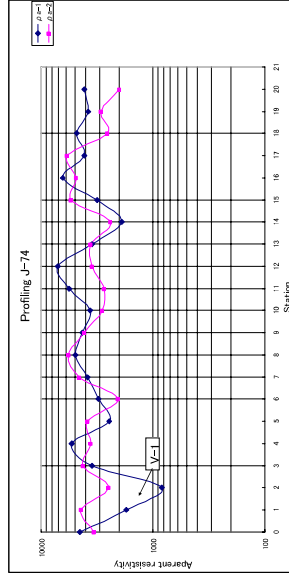
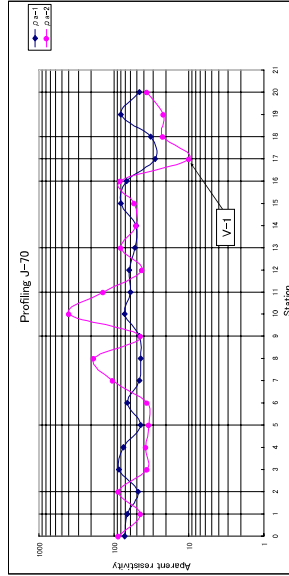
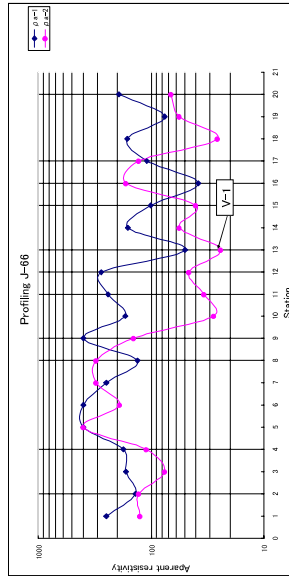
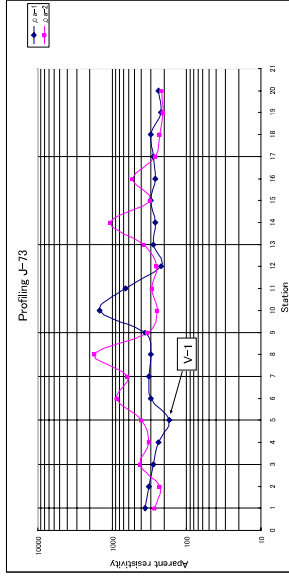
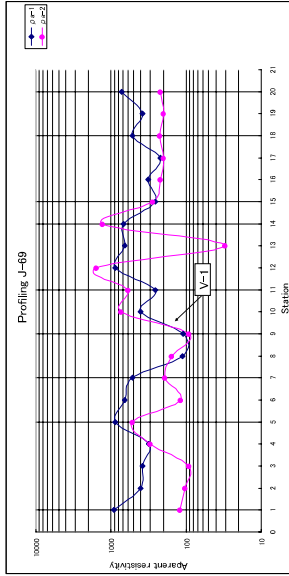
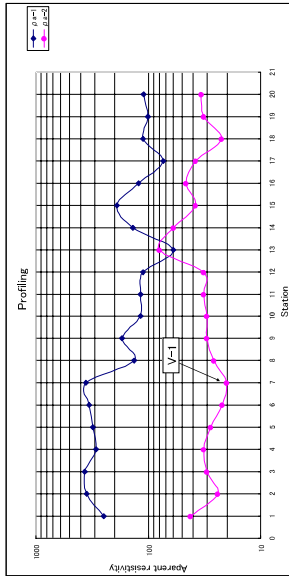
Le résultat d'enquête souterraine égale (15/42)



Le résultat d'enquête souterraine égale (16/42)

Le résultat d'enquête souterraine égale (17/42)

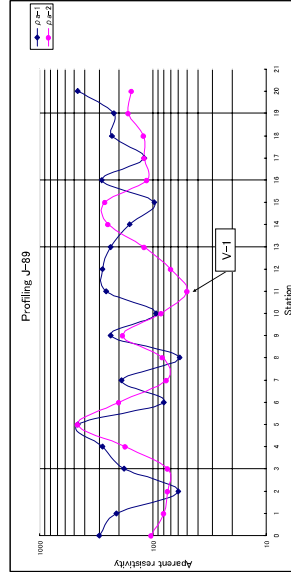
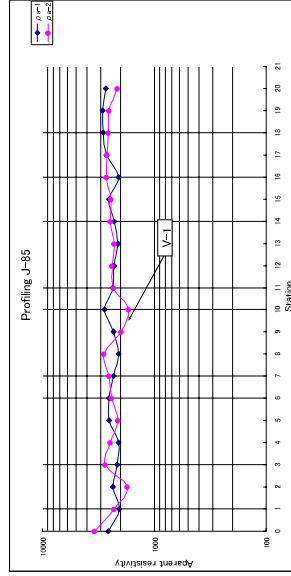
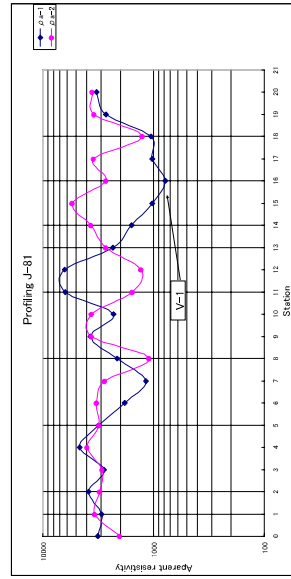
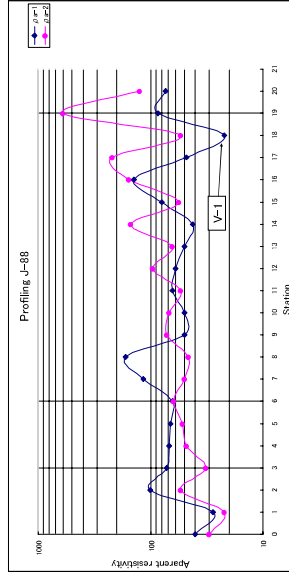
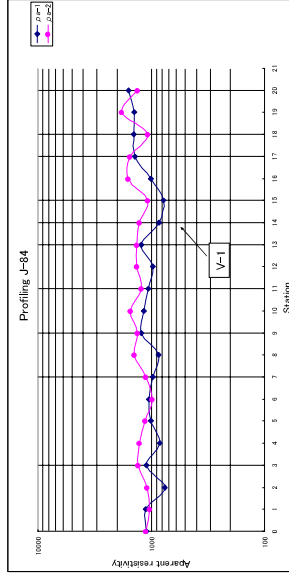
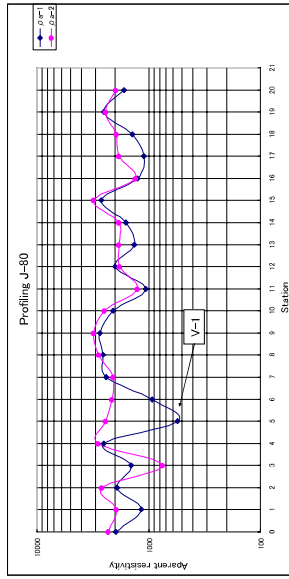
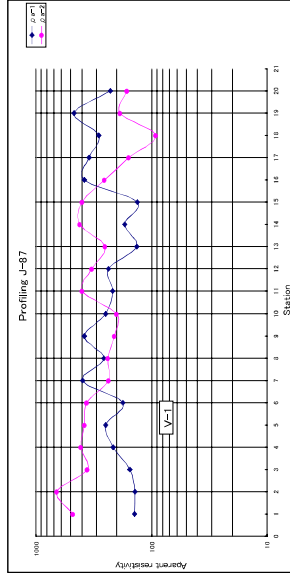
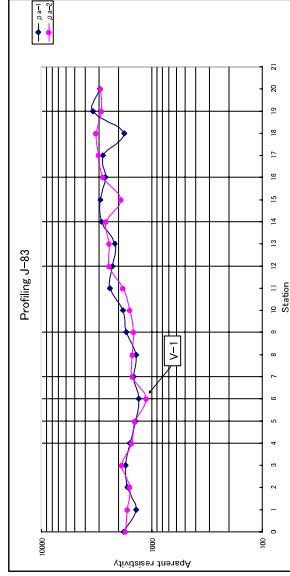
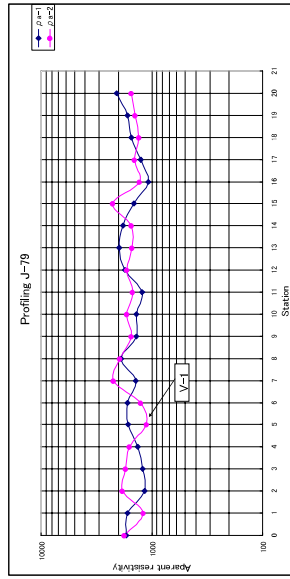
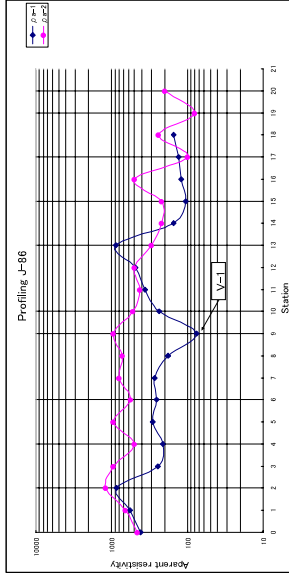
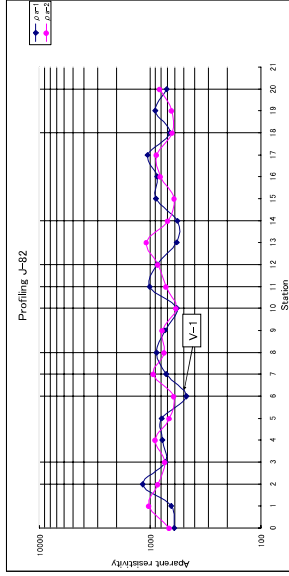
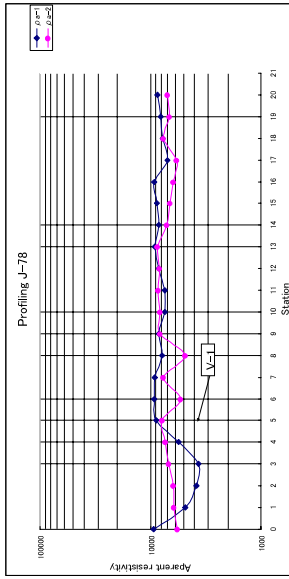
Le résultat d'enquête souterraine égale (18/42)

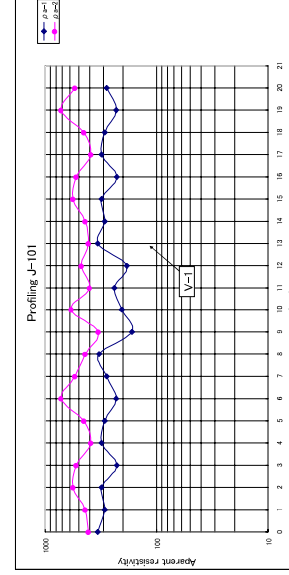
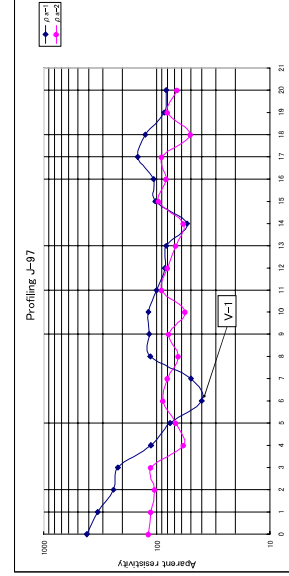
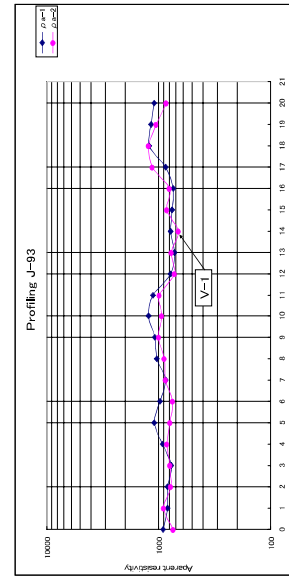
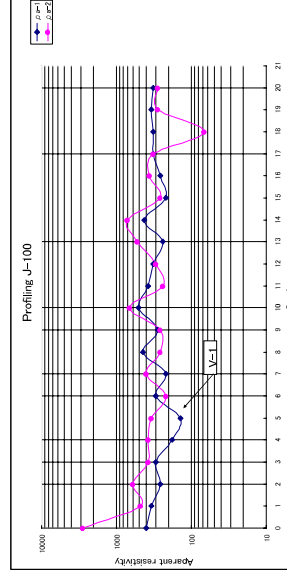
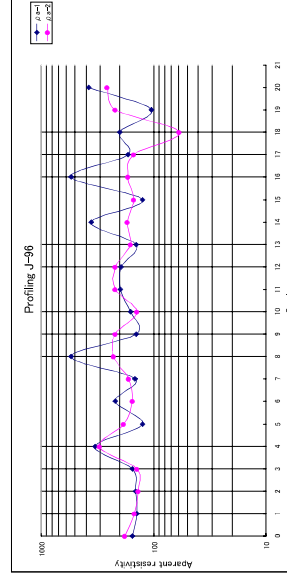
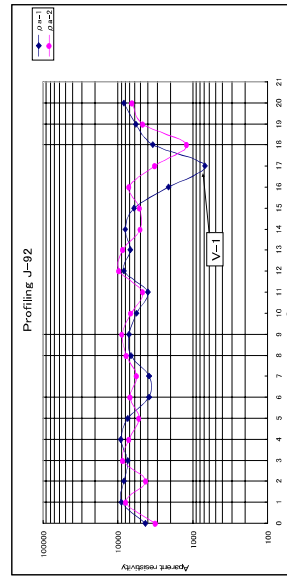
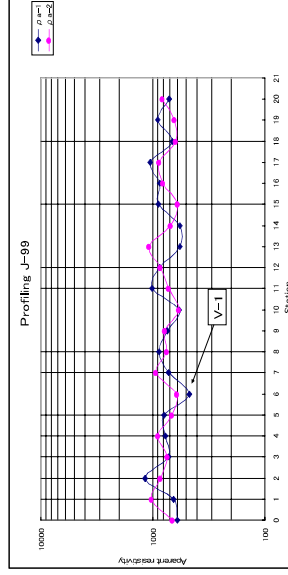
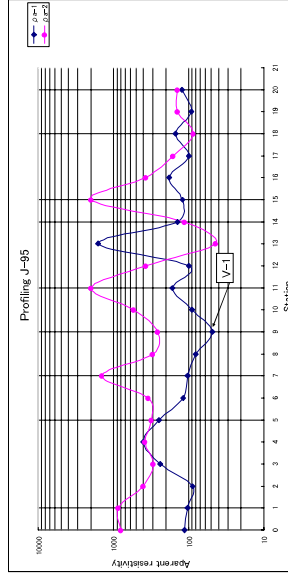
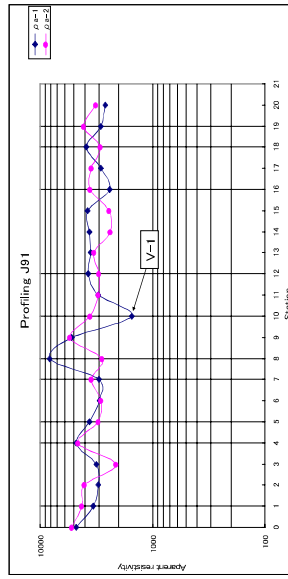
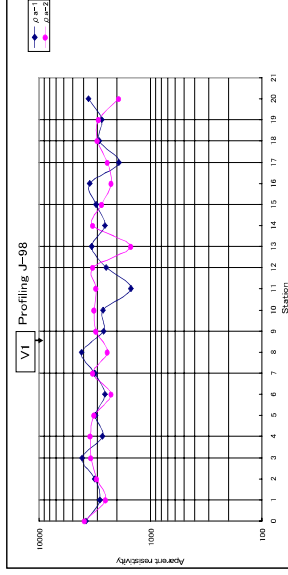
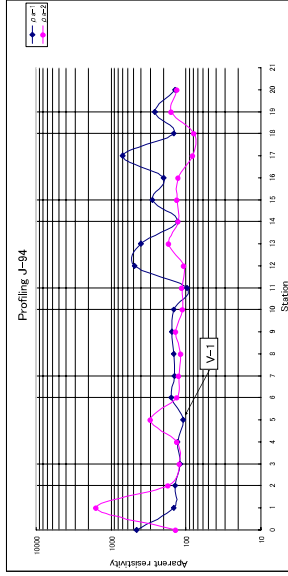
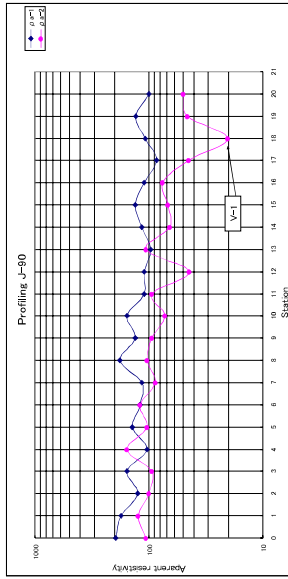


Le résultat d'enquête souterraine égale (19/42)

Le résultat d'enquête souterraine égale (20/42)

Le résultat d'enquête souterraine égale (21/42)

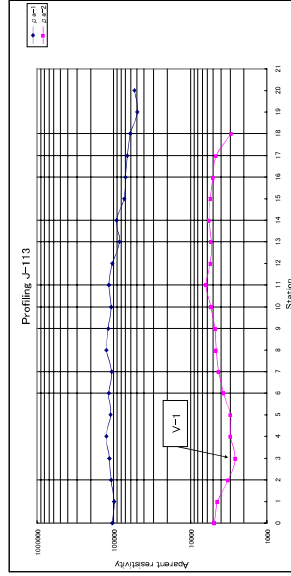
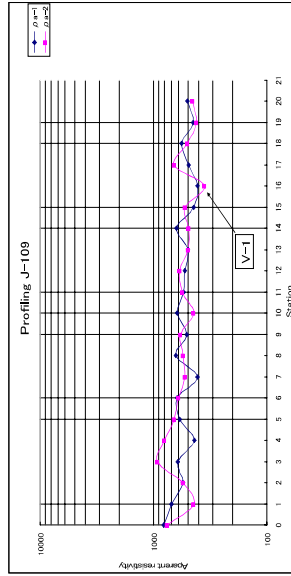
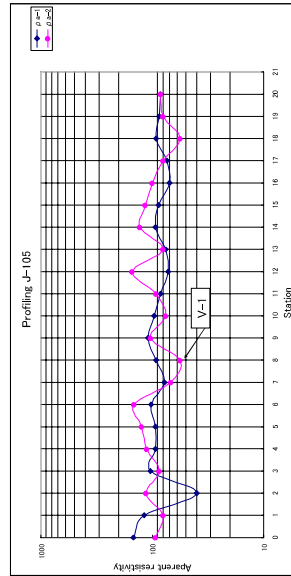
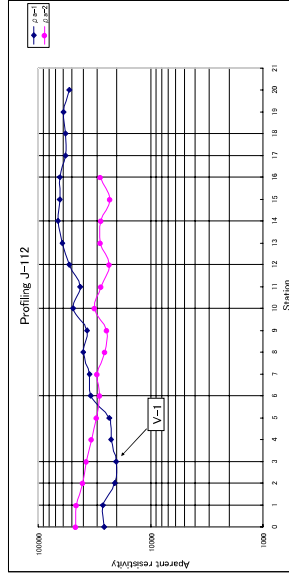
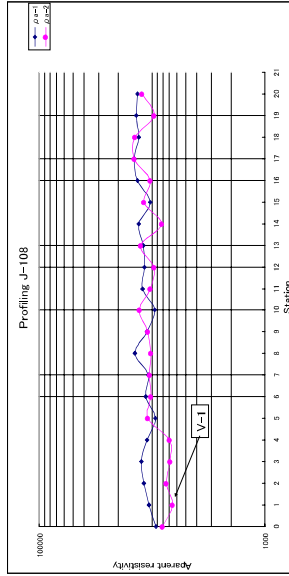
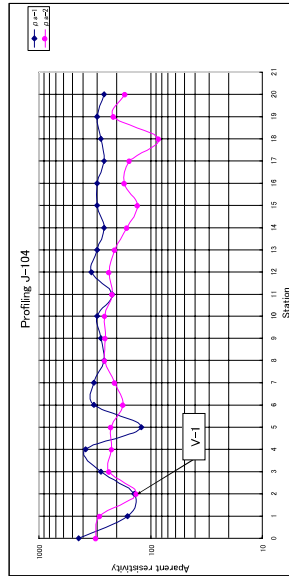
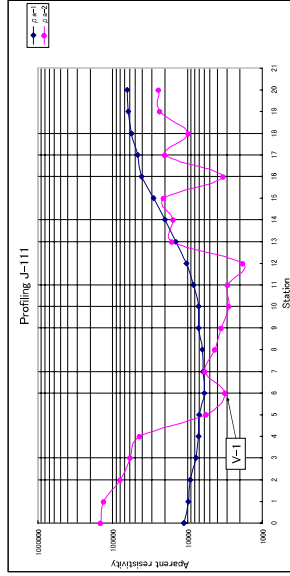
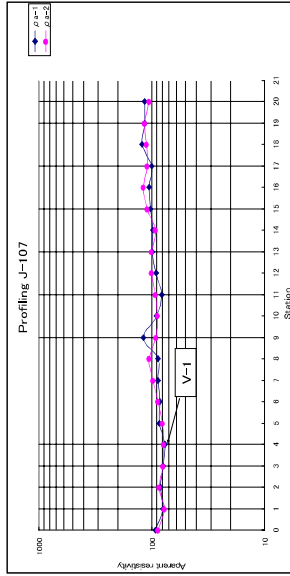
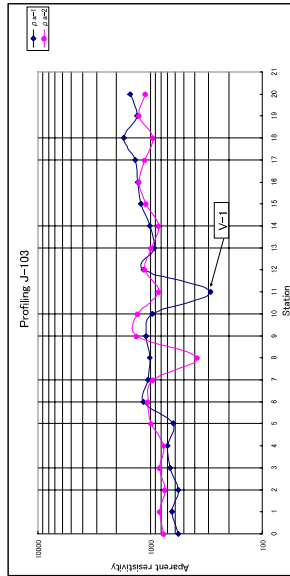
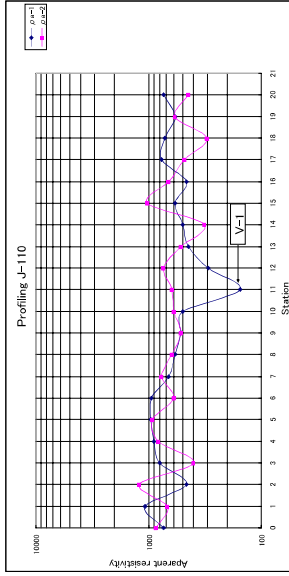
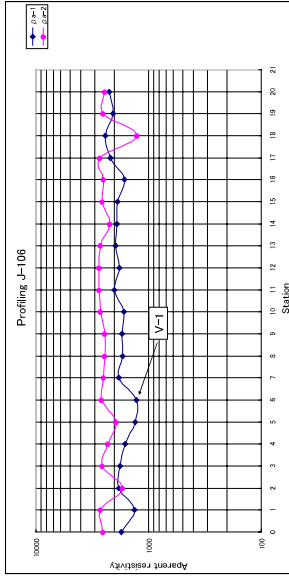
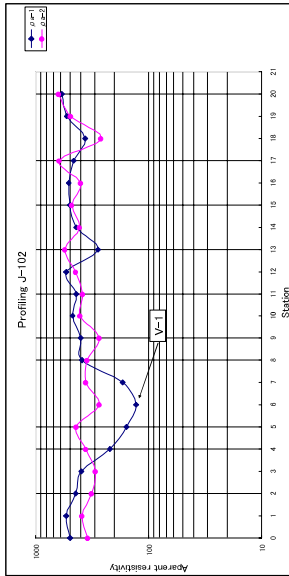


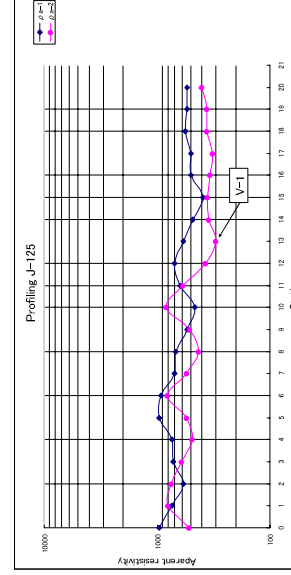
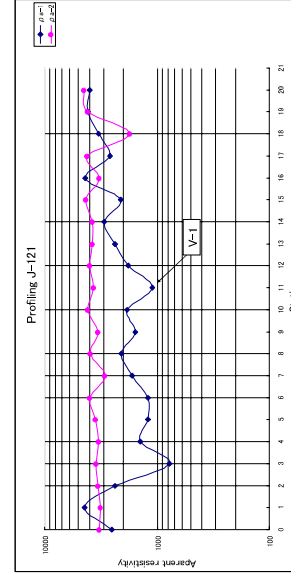
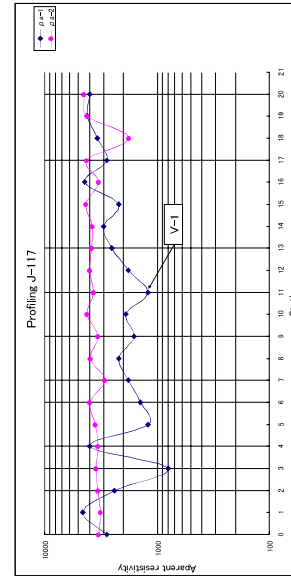
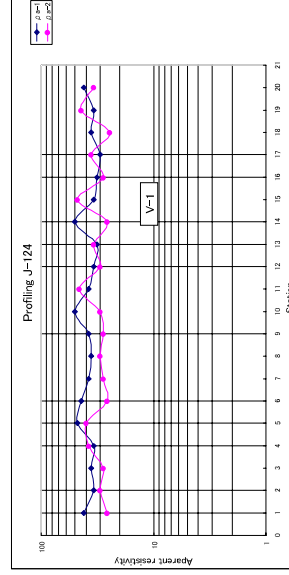
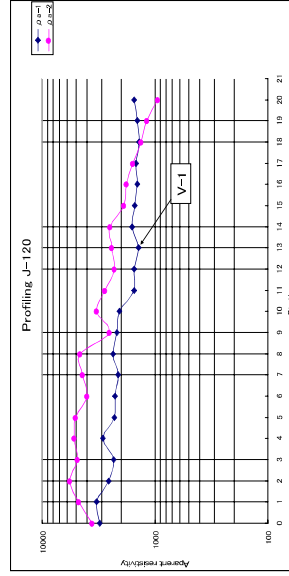
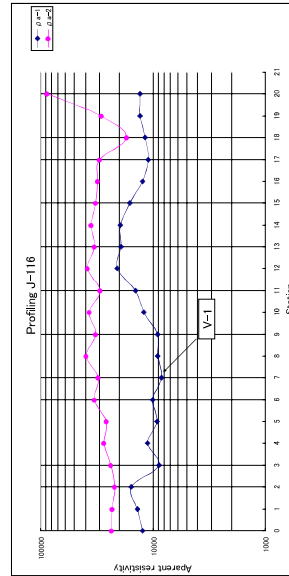
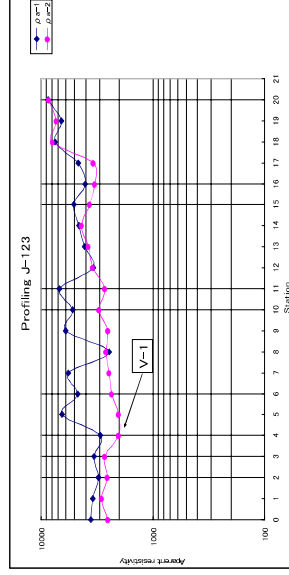
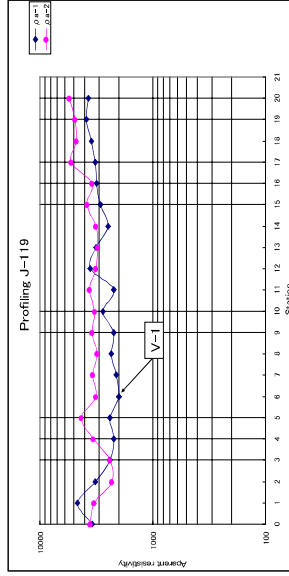
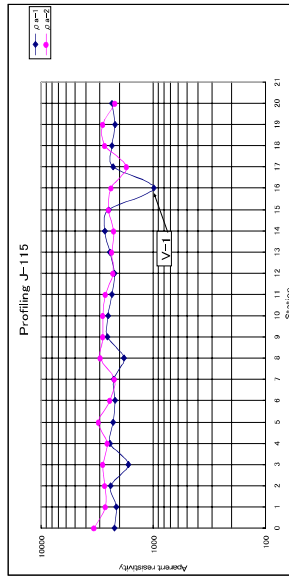
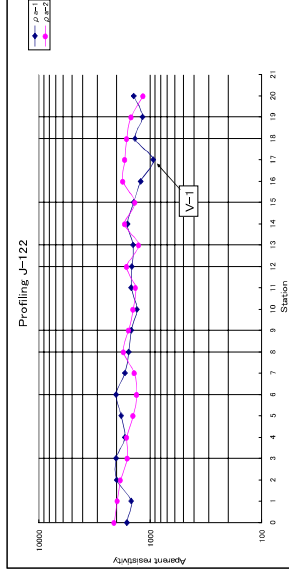
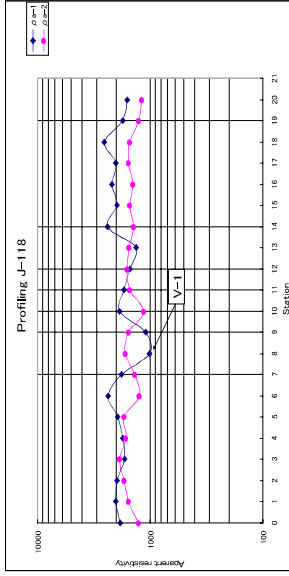
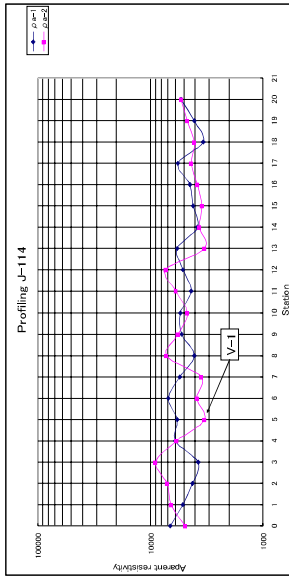


Le résultat d'enquête souterraine égale (25/42)

Le résultat d'enquête souterraine égale (26/42)

Le résultat d'enquête souterraine égale (27/42)

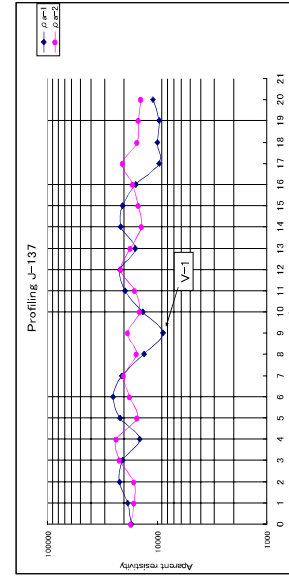
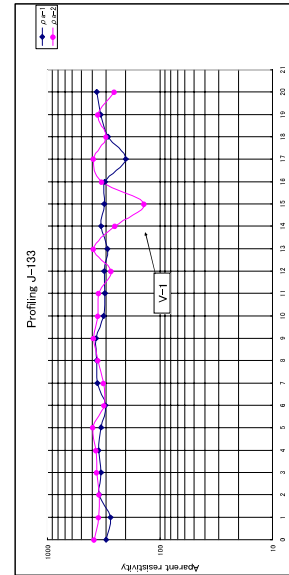
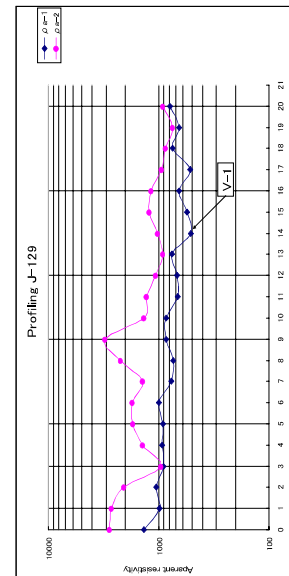
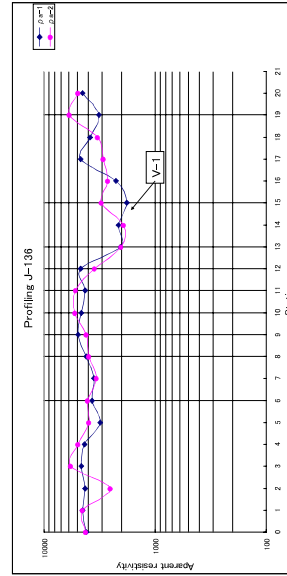
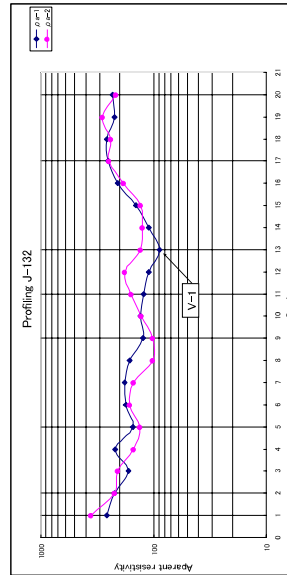
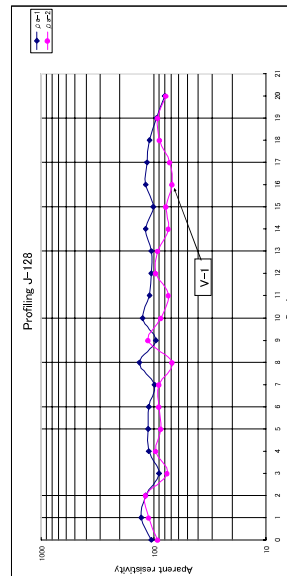
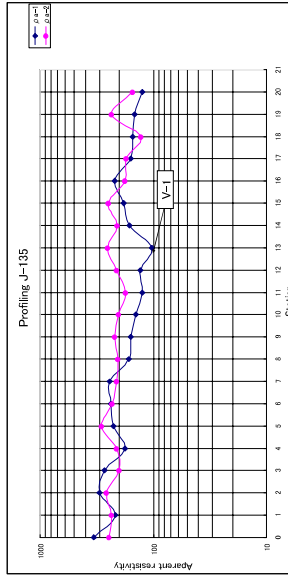
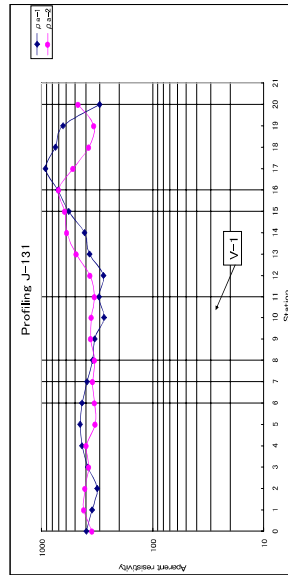
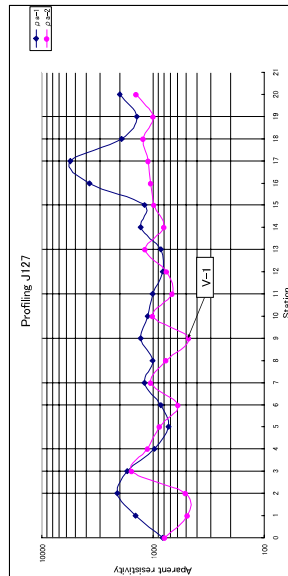
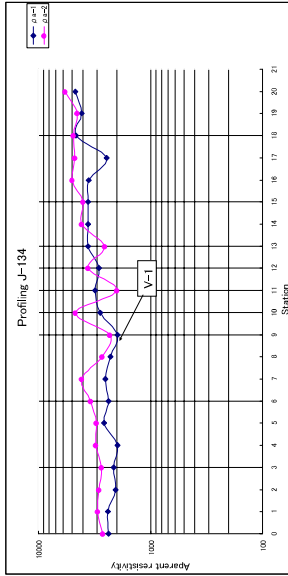
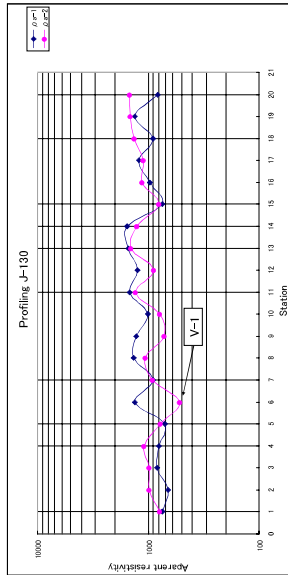
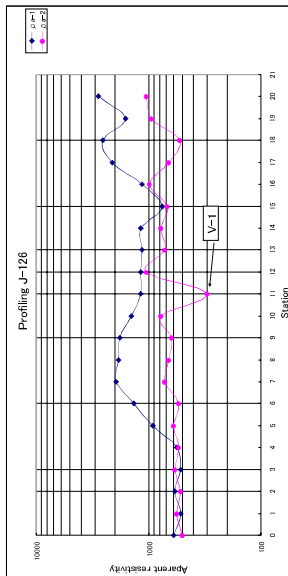


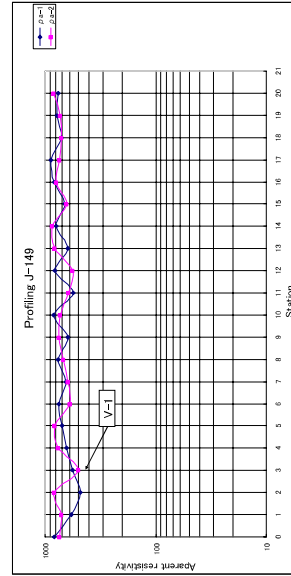
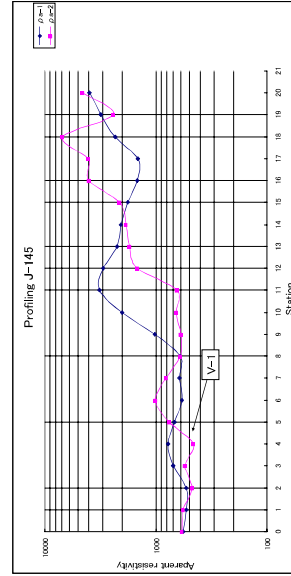
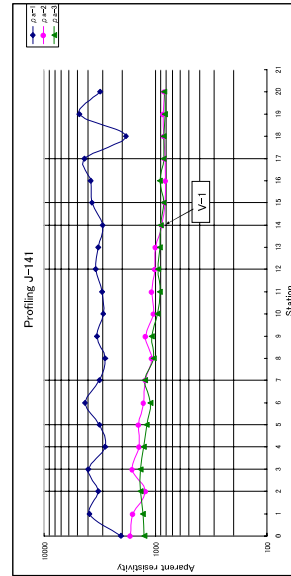
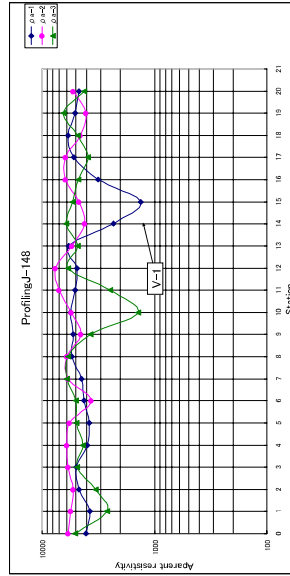
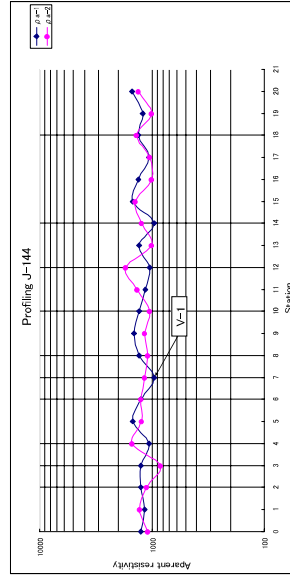
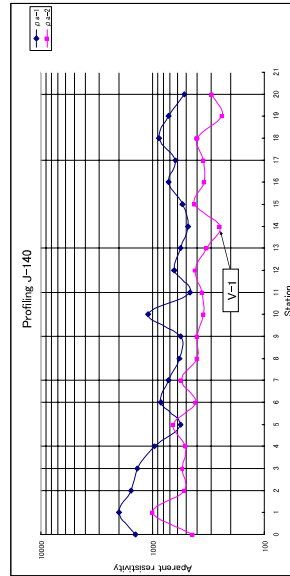
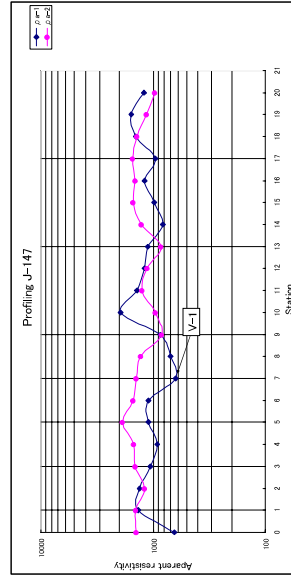
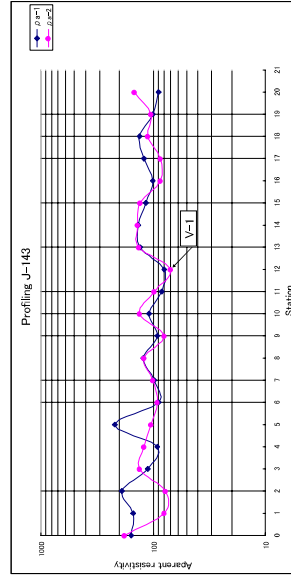
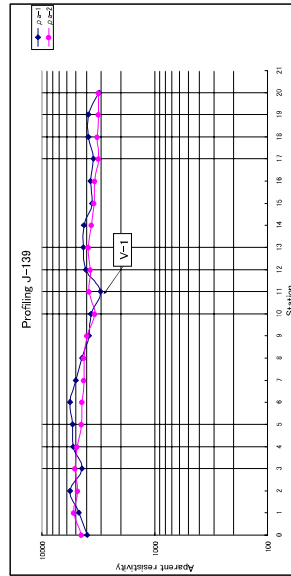
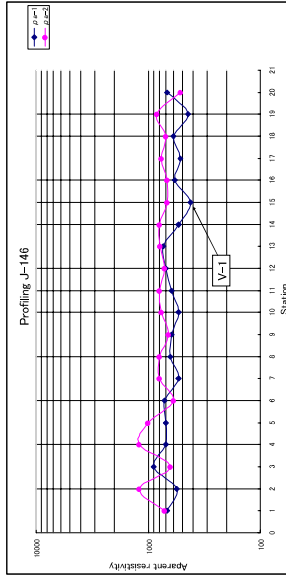
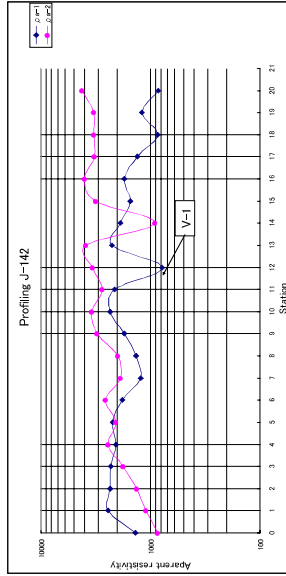
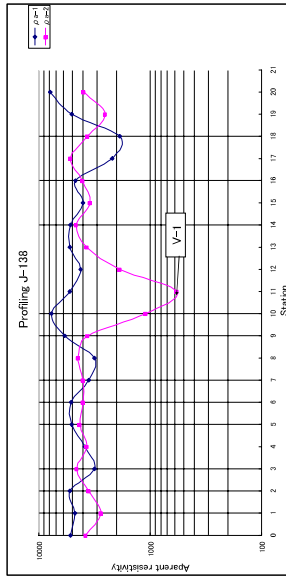


Le résultat d'enquête souterraine égale (31/42)

Le résultat d'enquête souterraine égale (32/42)

Le résultat d'enquête souterraine égale (33/42)

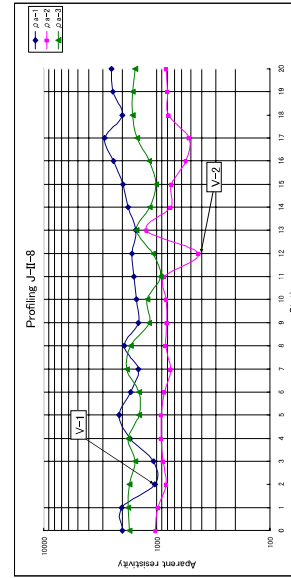
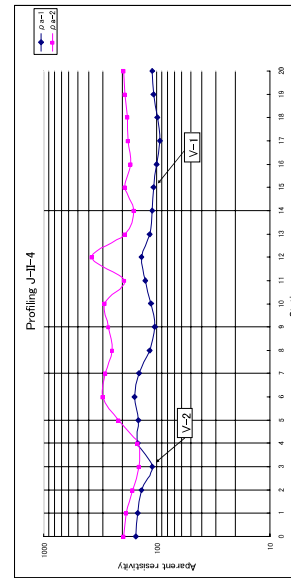
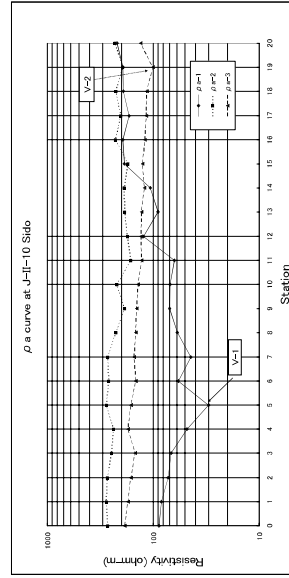
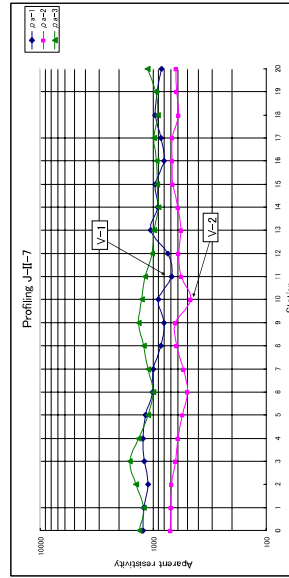
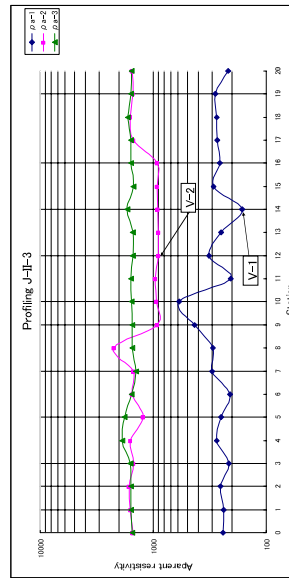
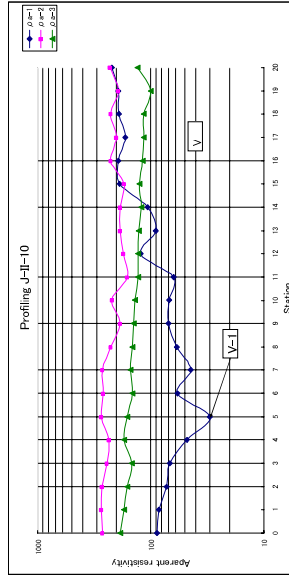
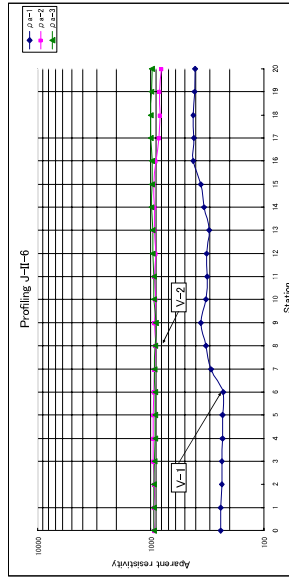
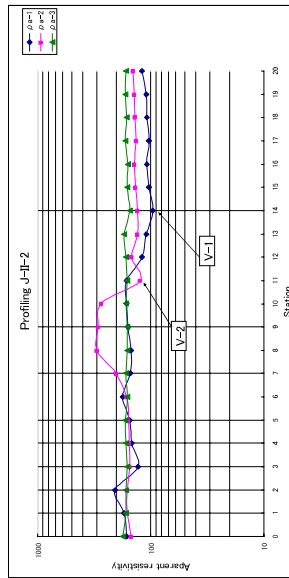
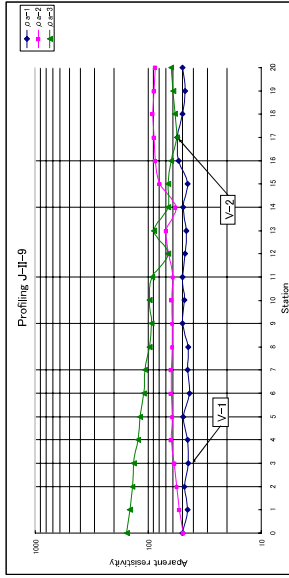
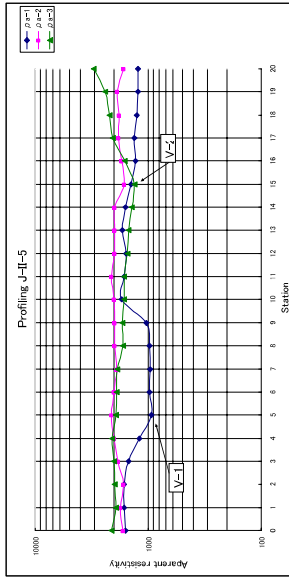
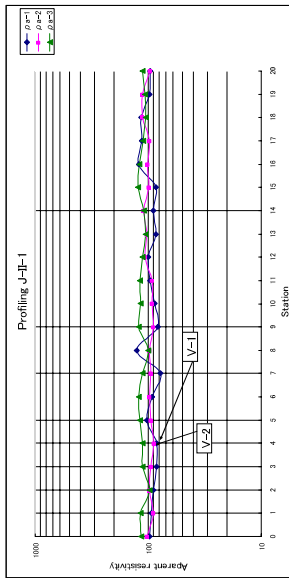




Le résultat d'enquête souterraine égale (37/42)

Le résultat d'enquête souterraine égale (38/42)

Le résultat d'enquête souterraine égale (39/42)



Le résultat d'enquête souterraine égale (40 / 42)

Le résultat d'enquête souterraine égale (41 / 42)

Le résultat d'enquête souterraine égale (42 / 42)